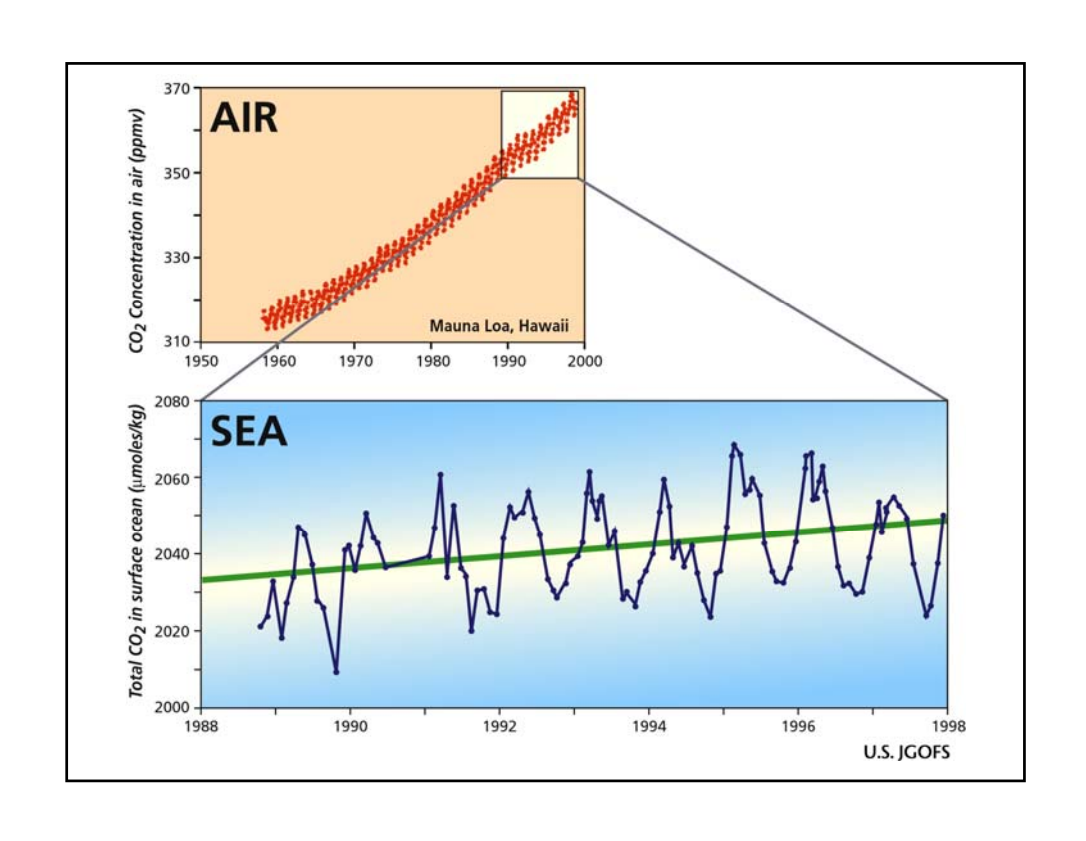
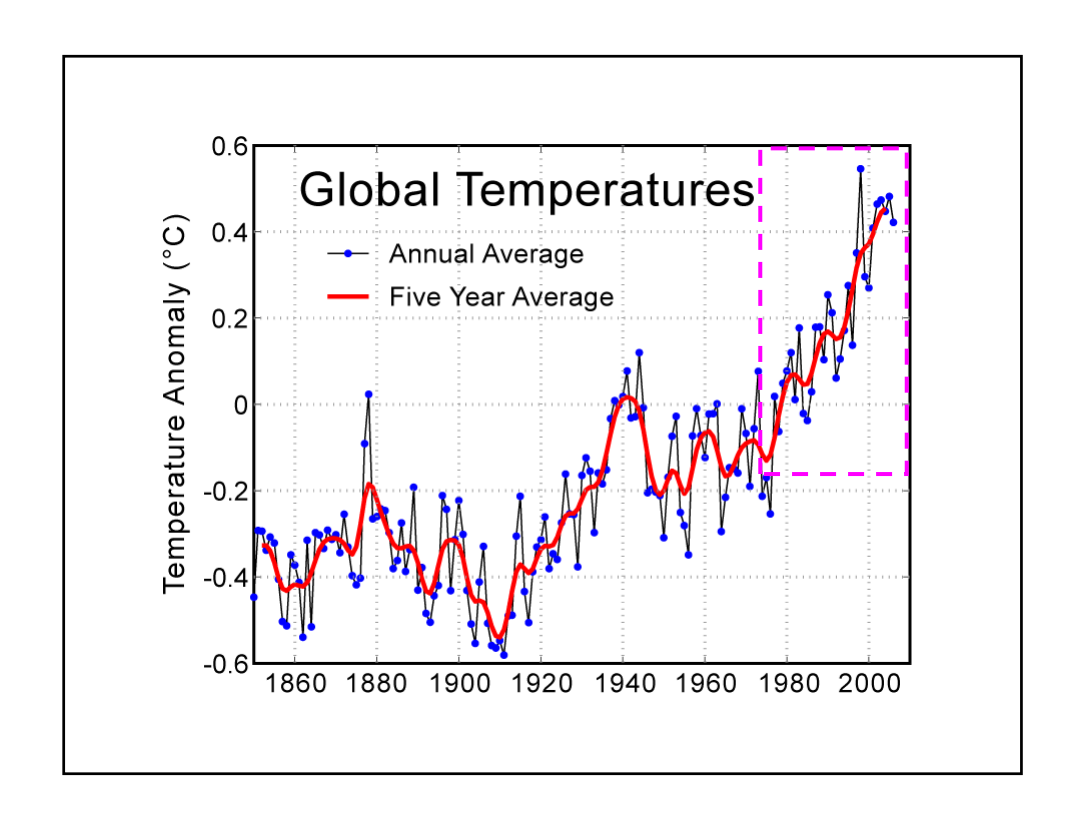
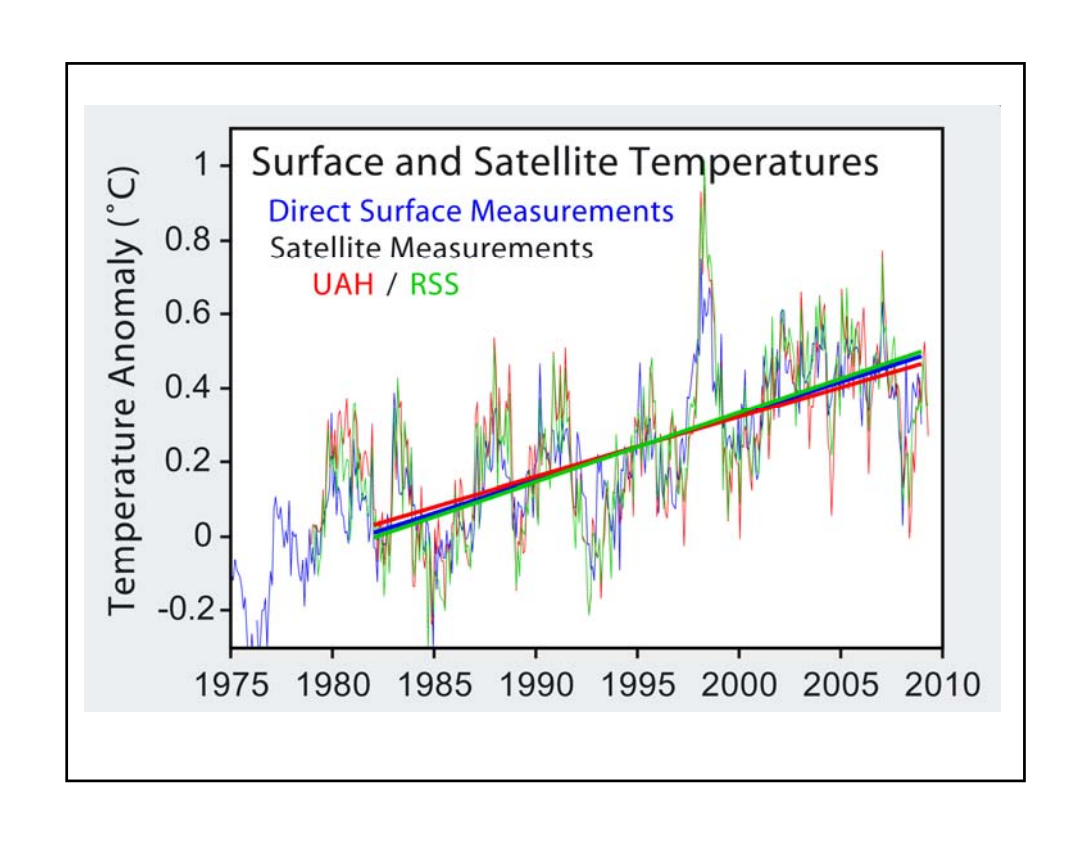


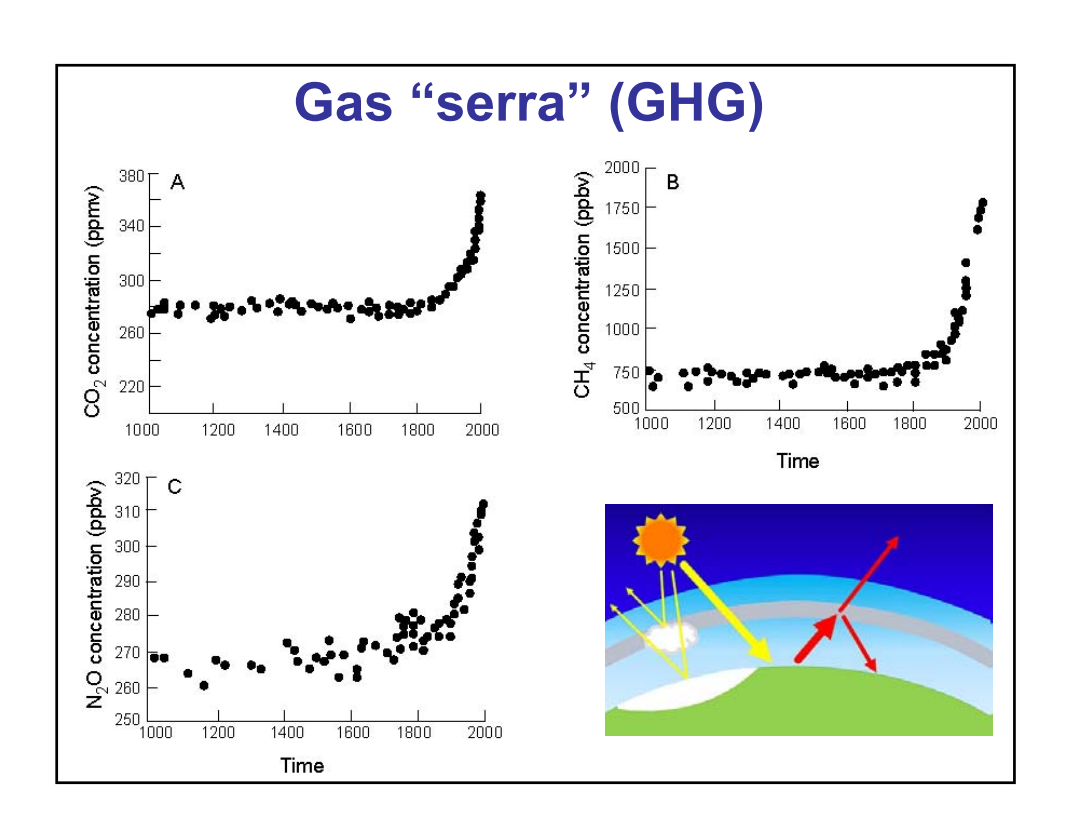
Il ciclo del carbonio...

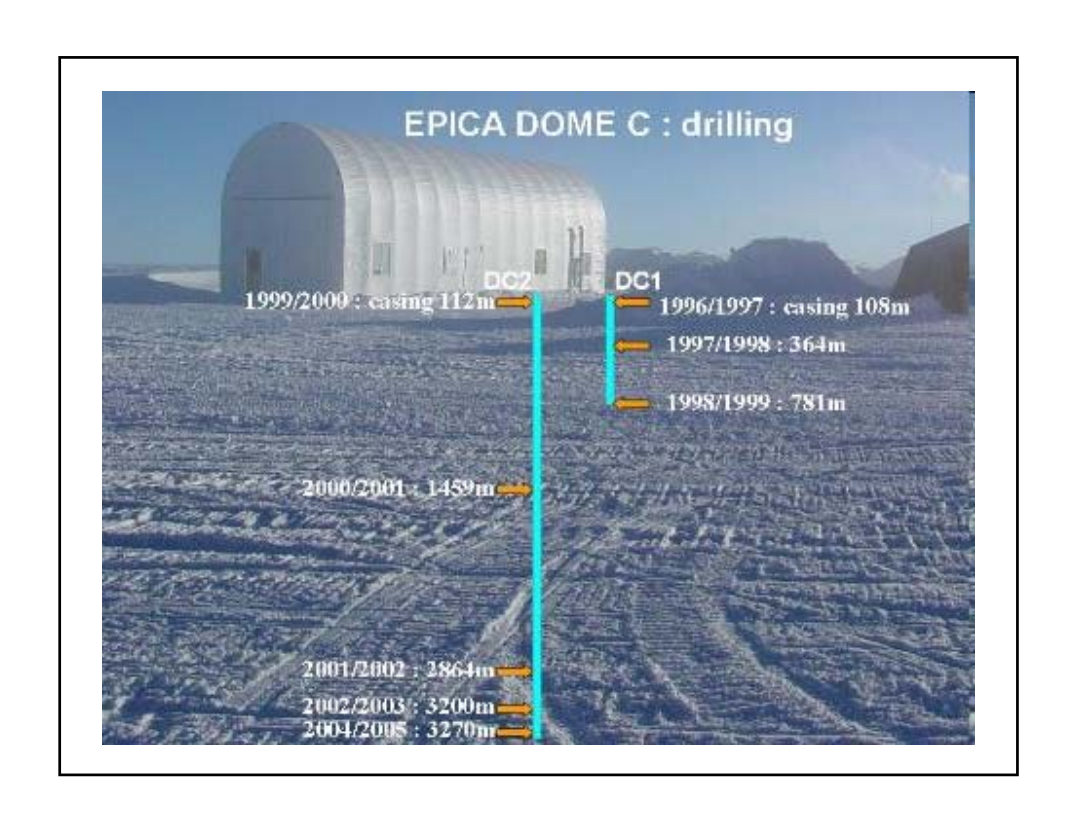
- è alla base della vita sul nostro pianeta
- è governato da svariati da processi chimici, fisici e soprattutto biotici
- è influenzato dalle attività antropiche
- su scala globale è strettamente legato al clima
- oggi è diventato di grande interesse generale per gli ultimi due motivi!

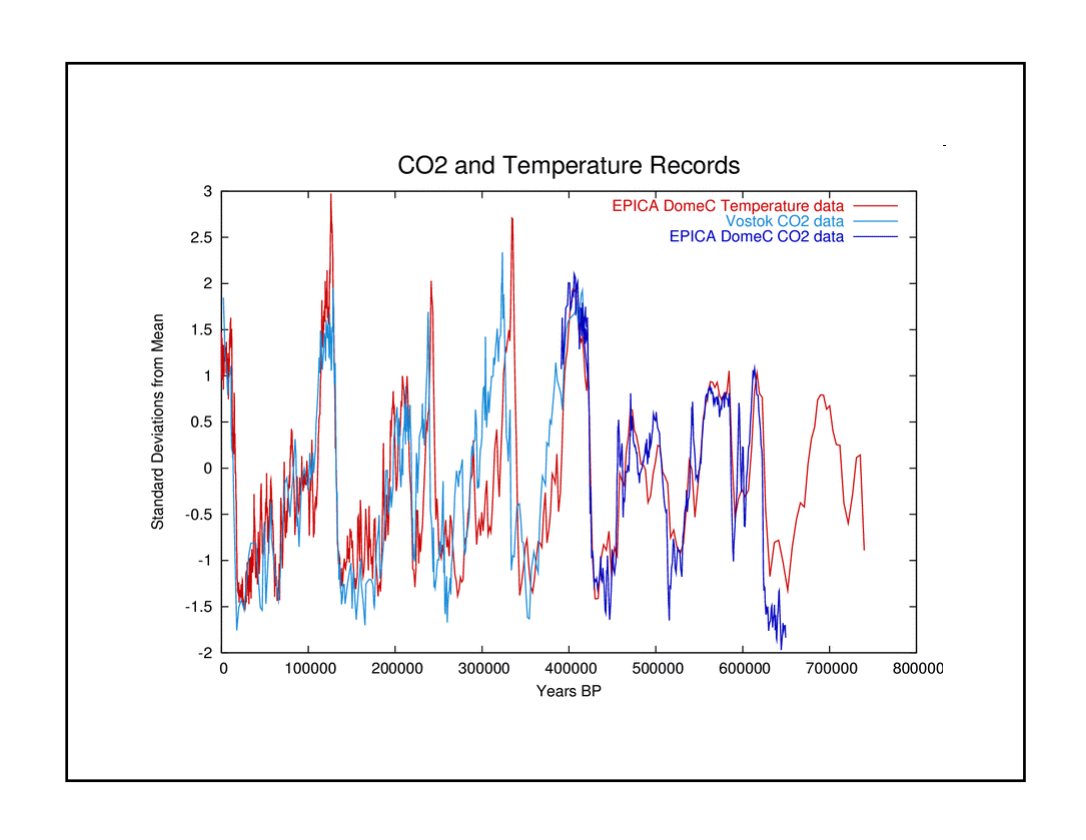


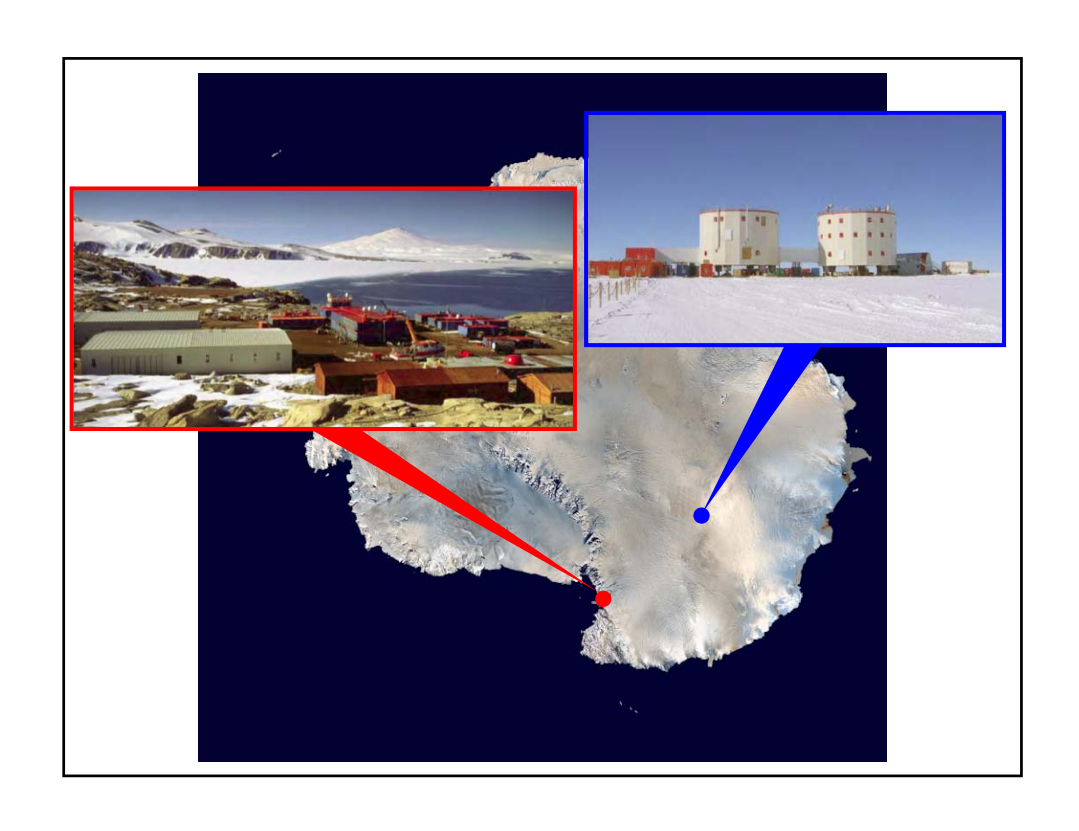






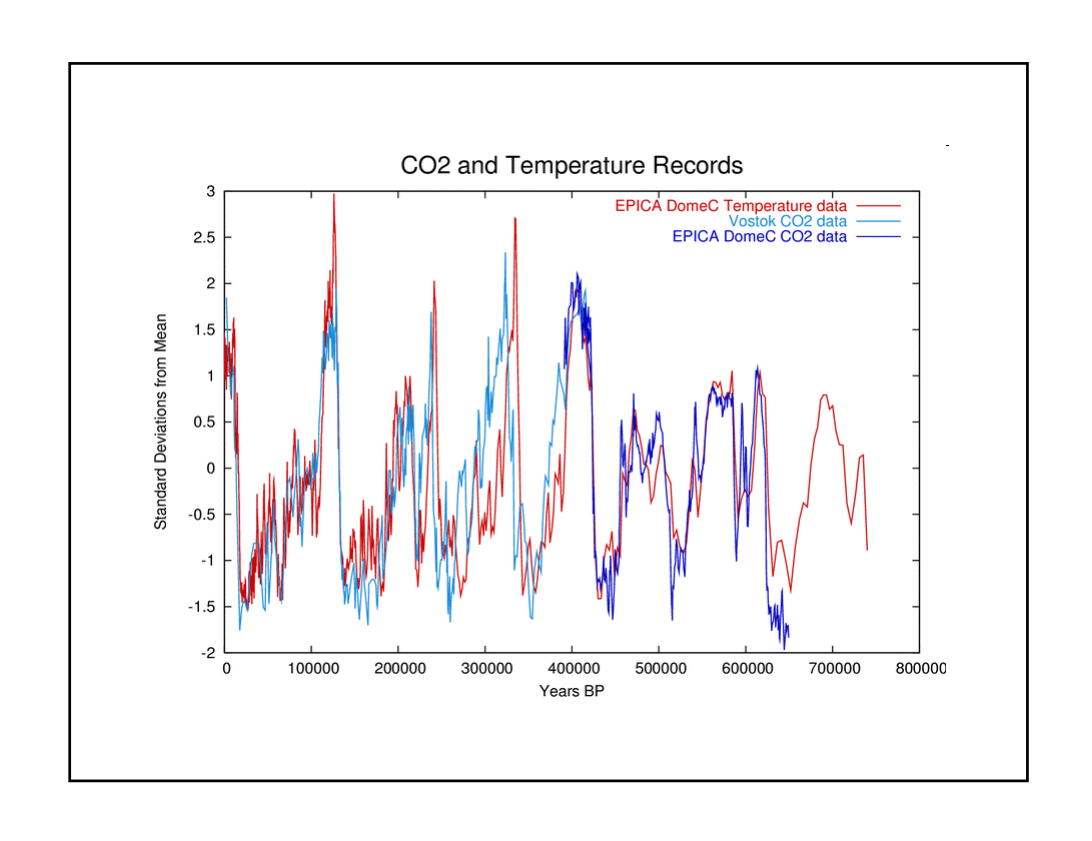


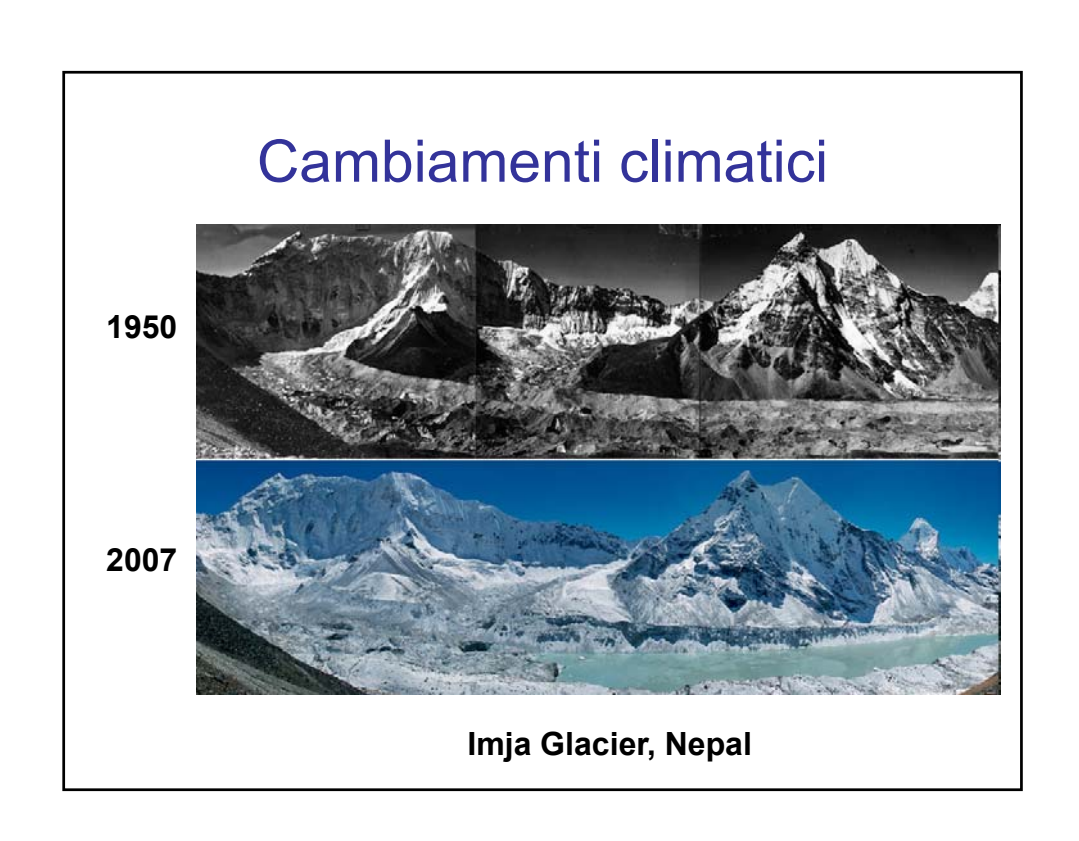


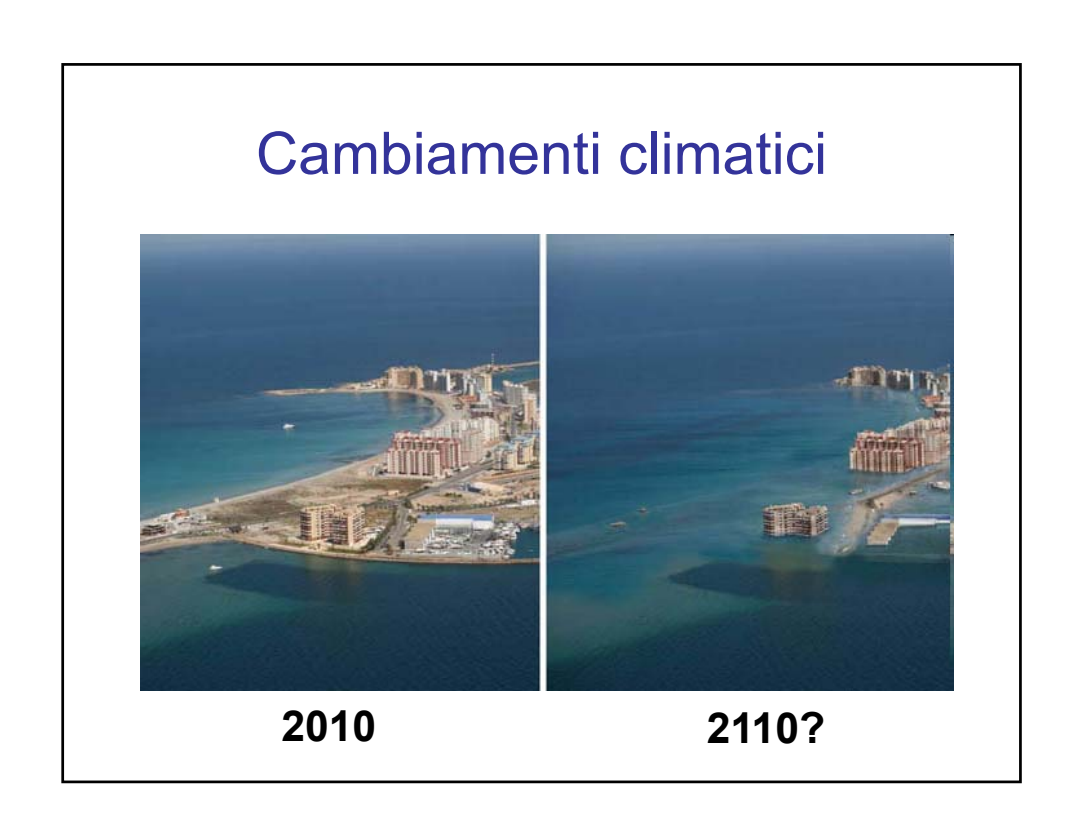


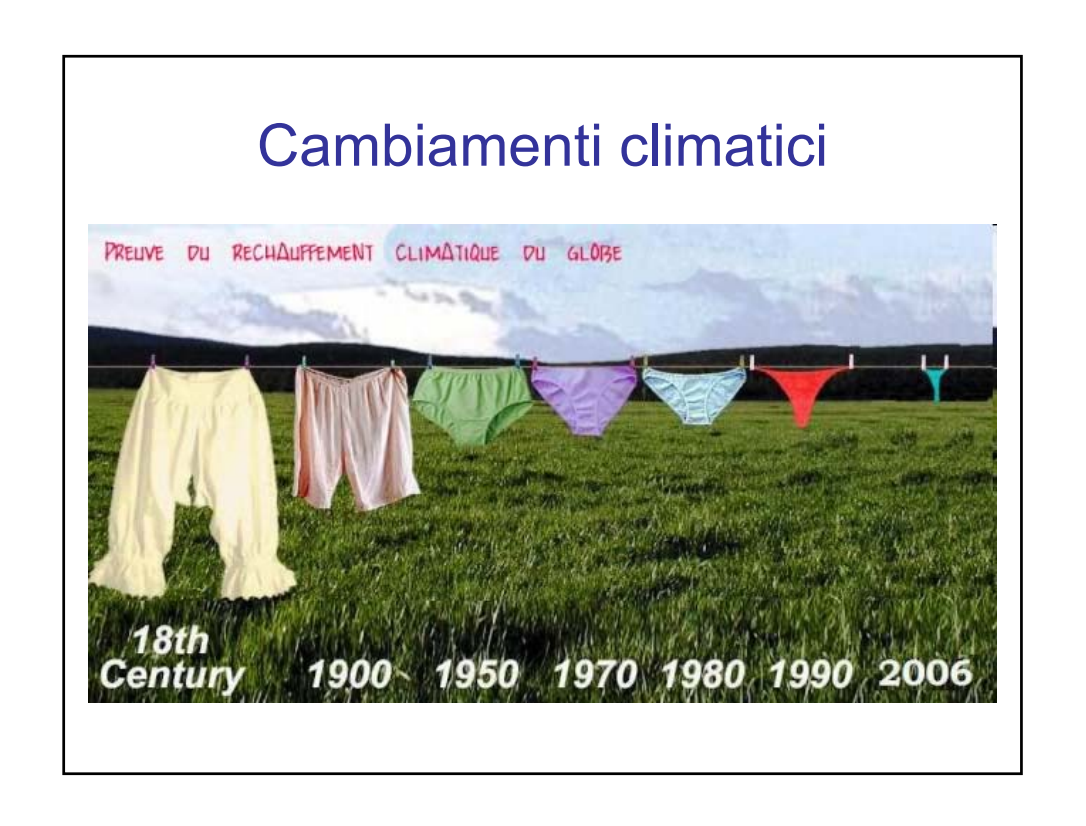


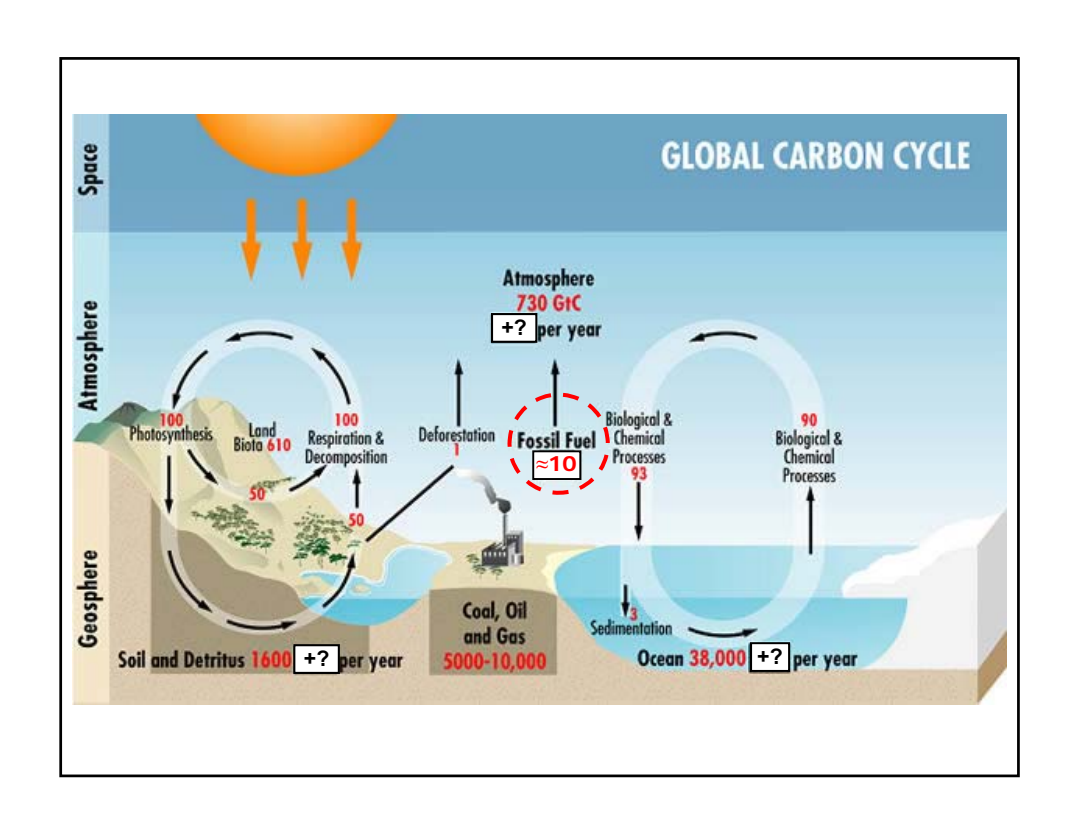
http://www.csna.it/Documenti/PNRA_20_anni_web.pdf http://www.pnra.it

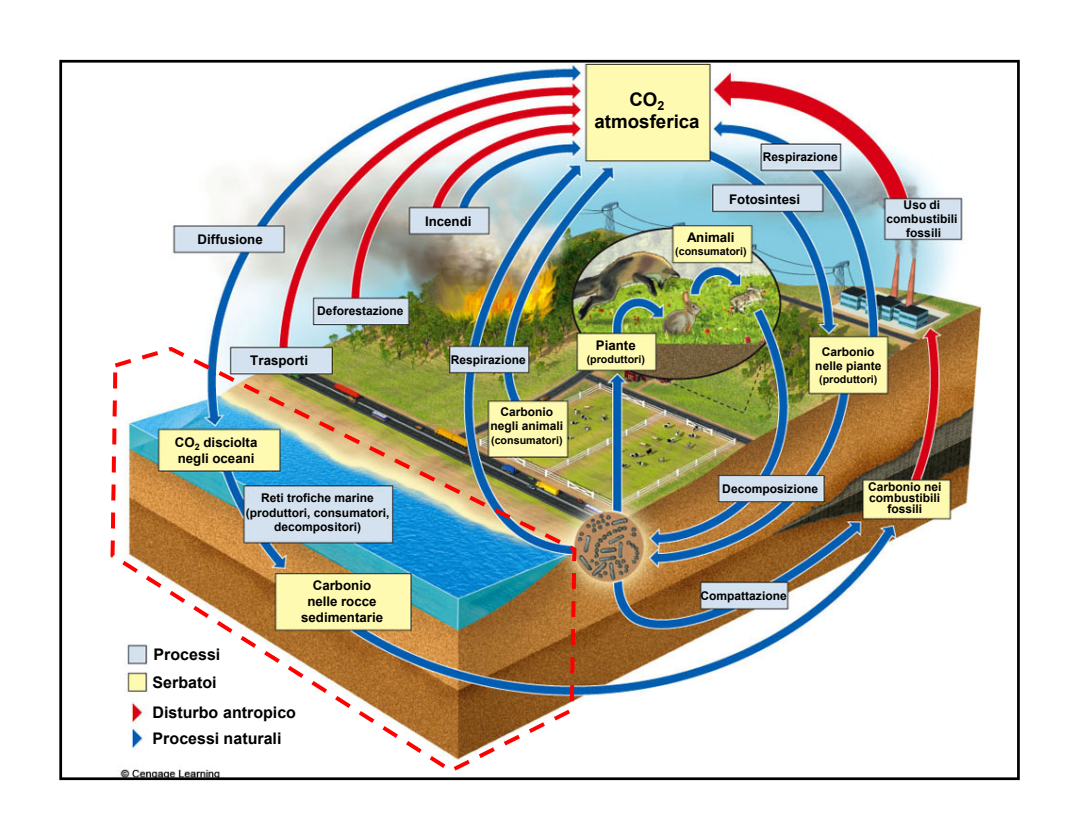


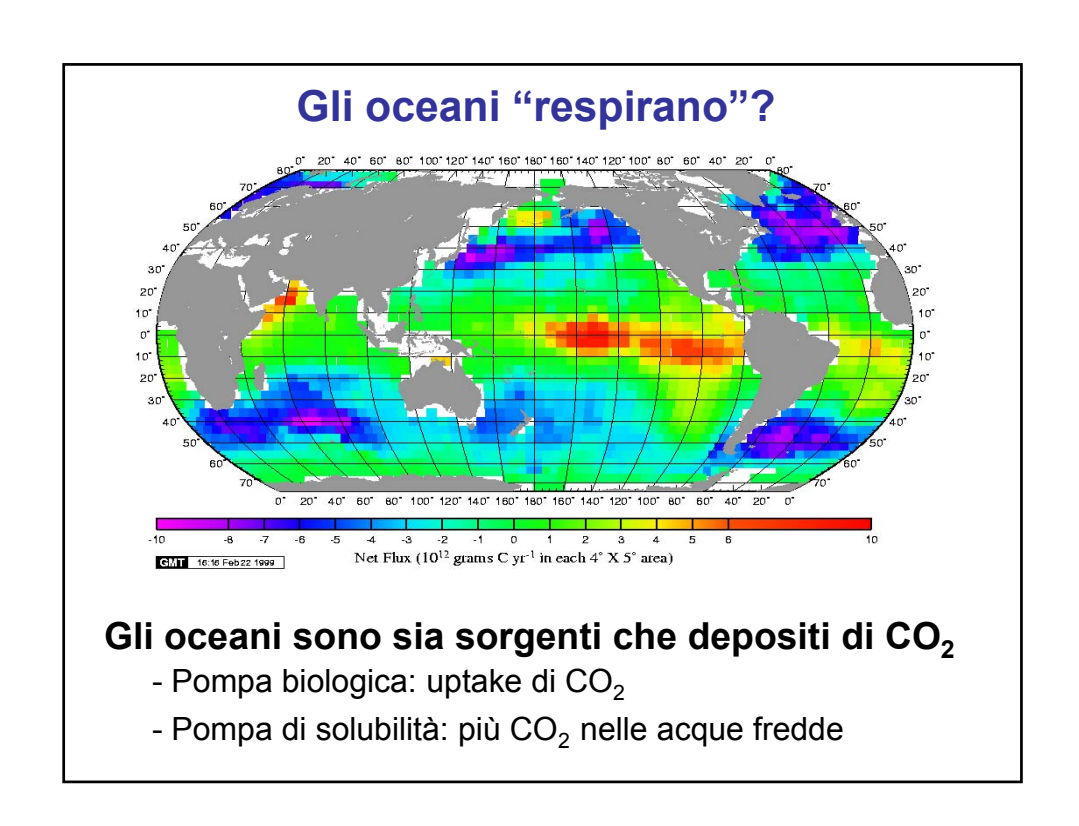


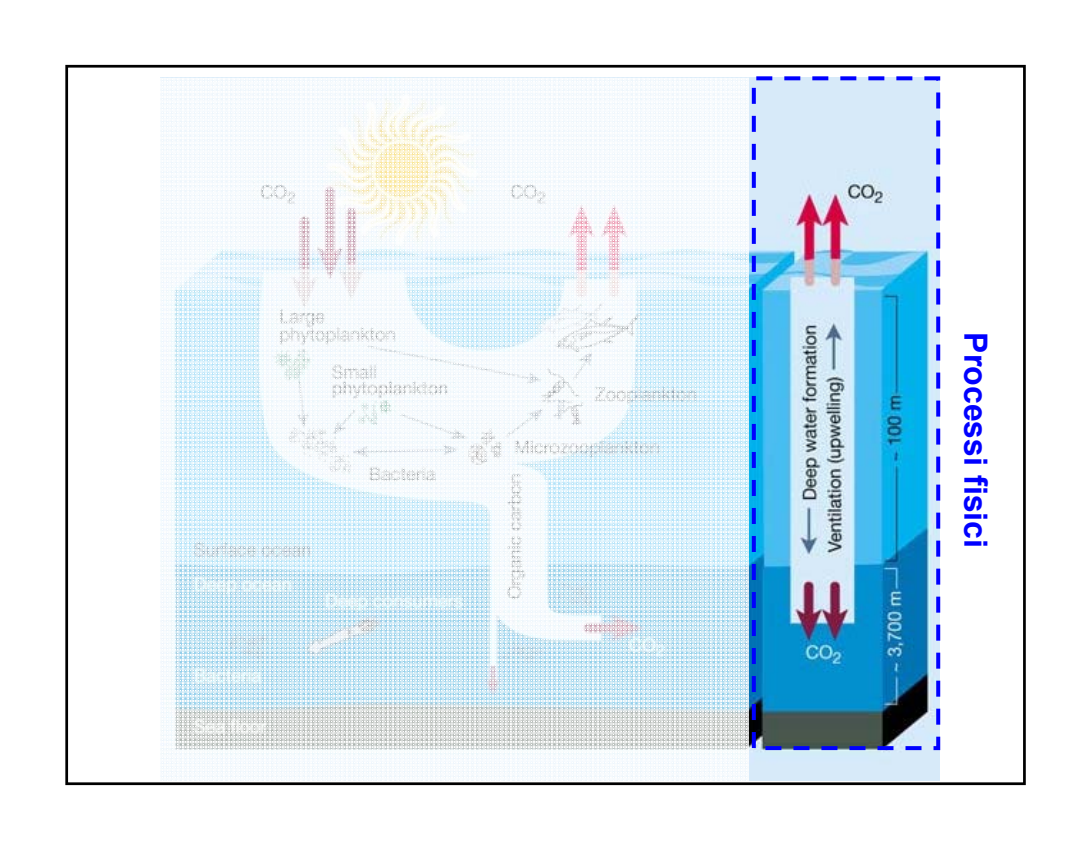


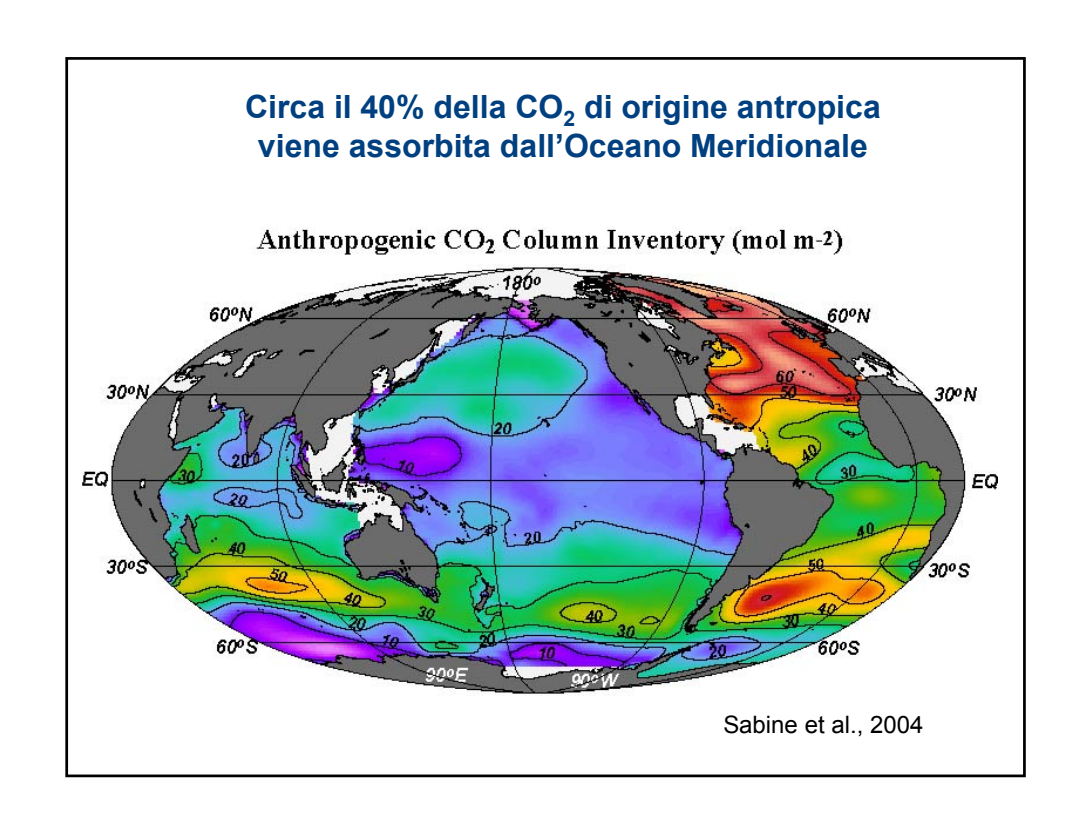




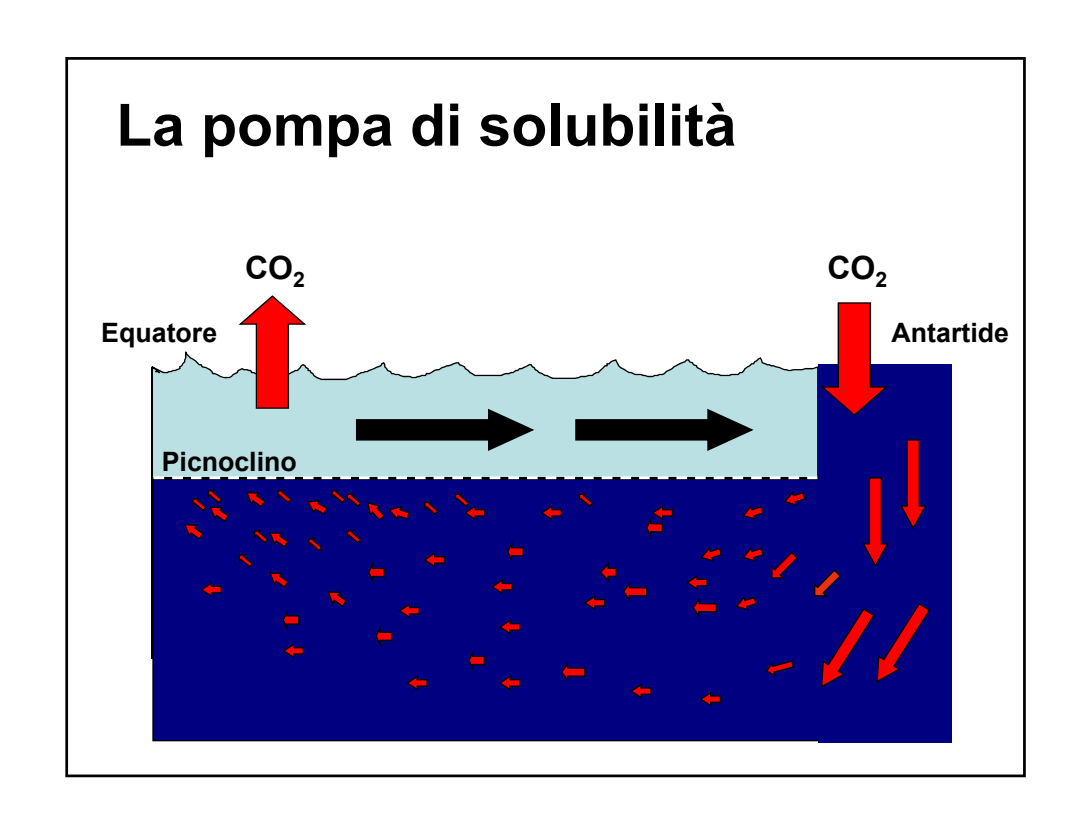


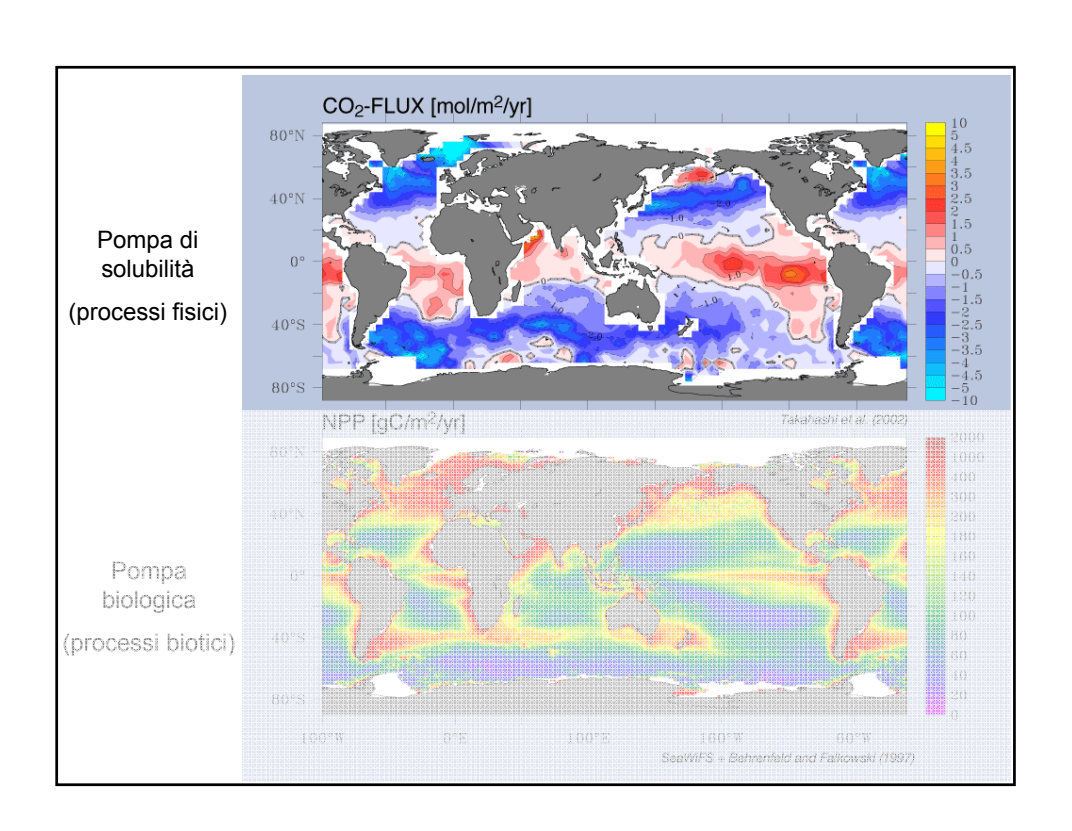


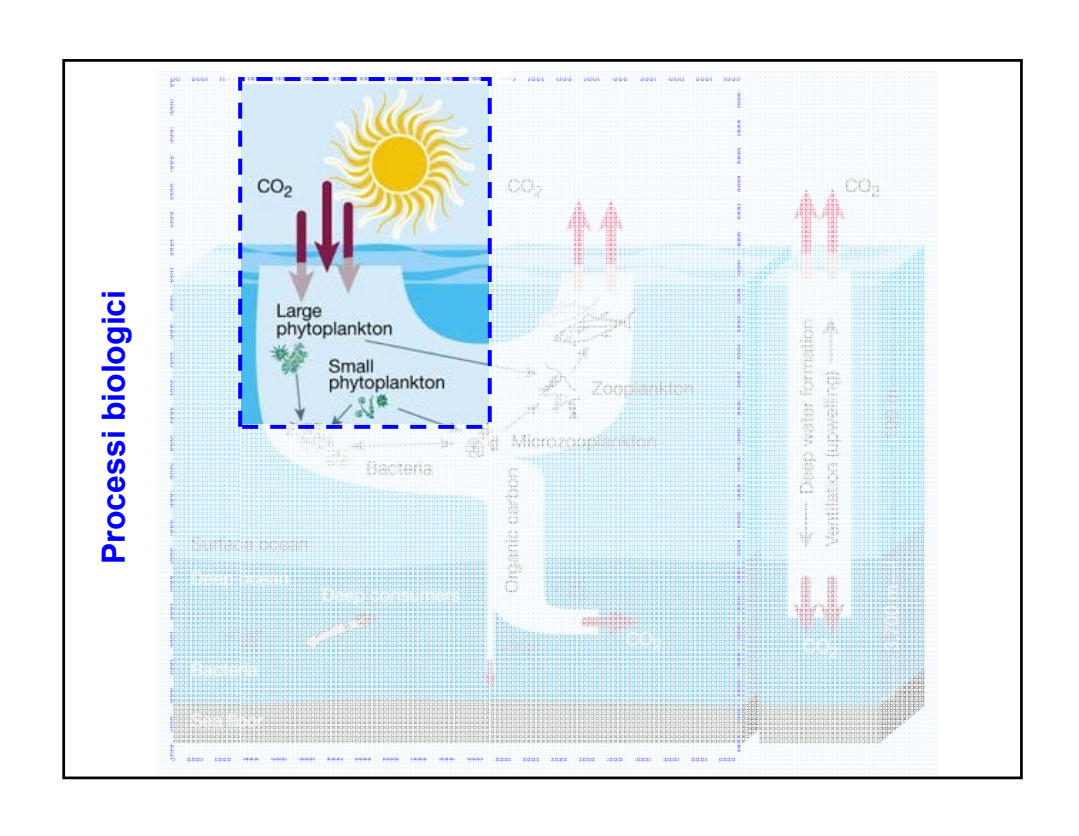


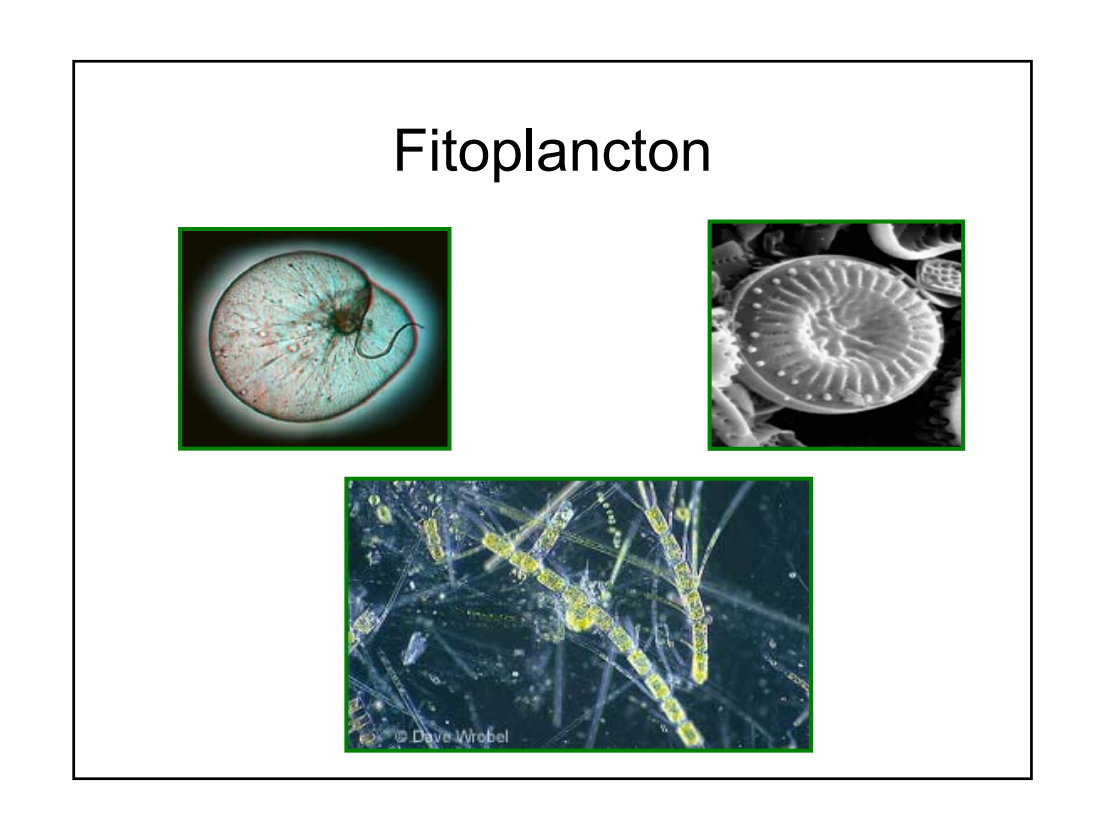


La pompa di solubilità segno e valore del flusso netto di CO₂ dipendono dalle differenze aria-acqua la solubilità è maggiore nelle acque fredde (le regioni polari assorbono, quelle equatoriali emettono) El Niño Nov. 1997 to May 1998 Nov. 1997 to May 1998 Le Niño Nov. 1997 to May 1998

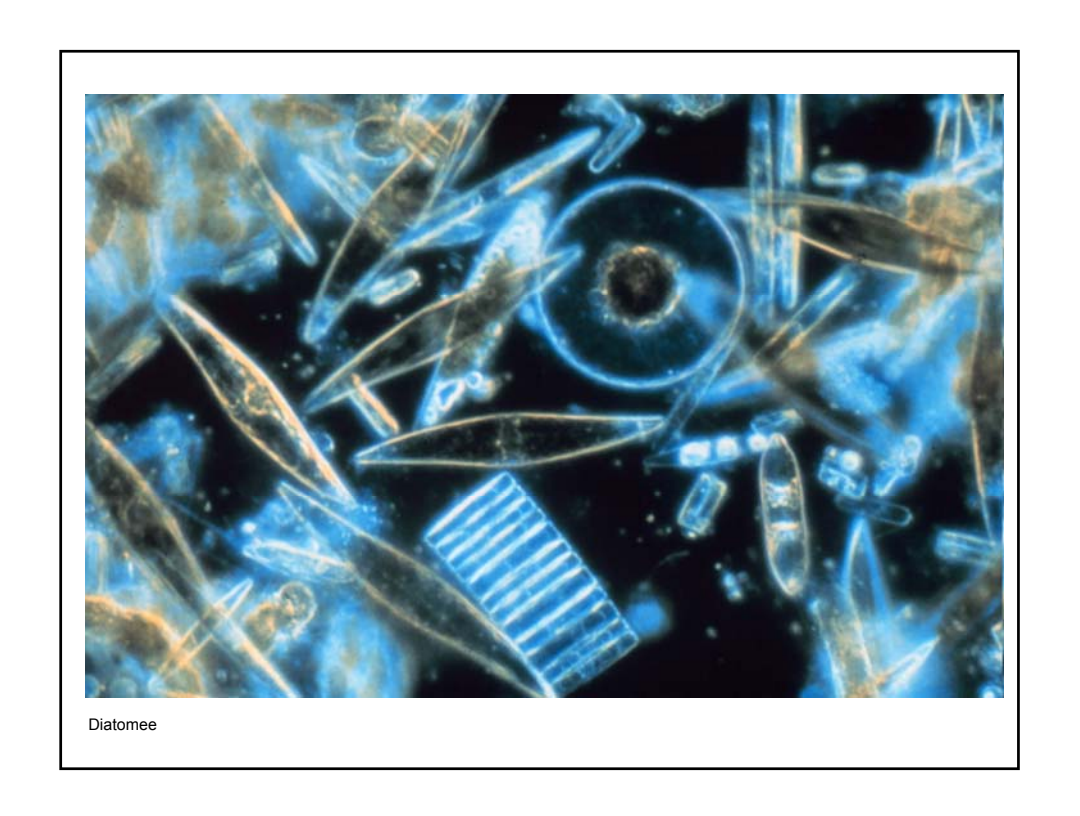


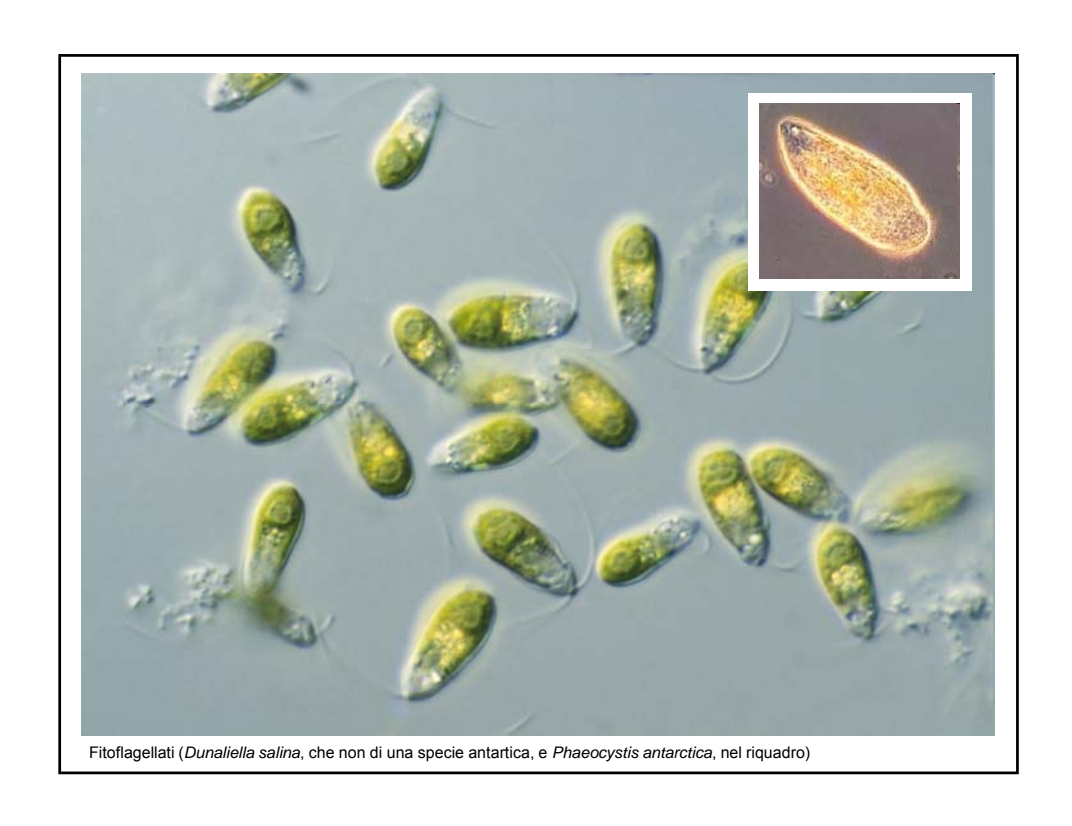


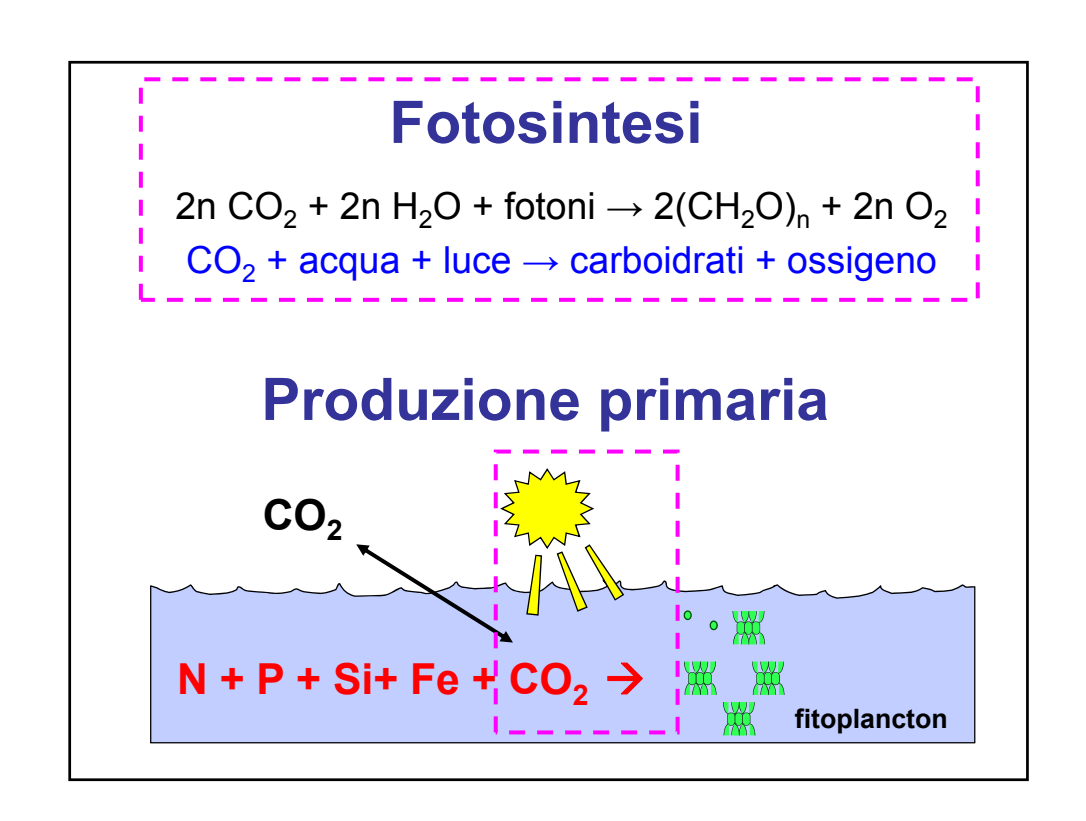










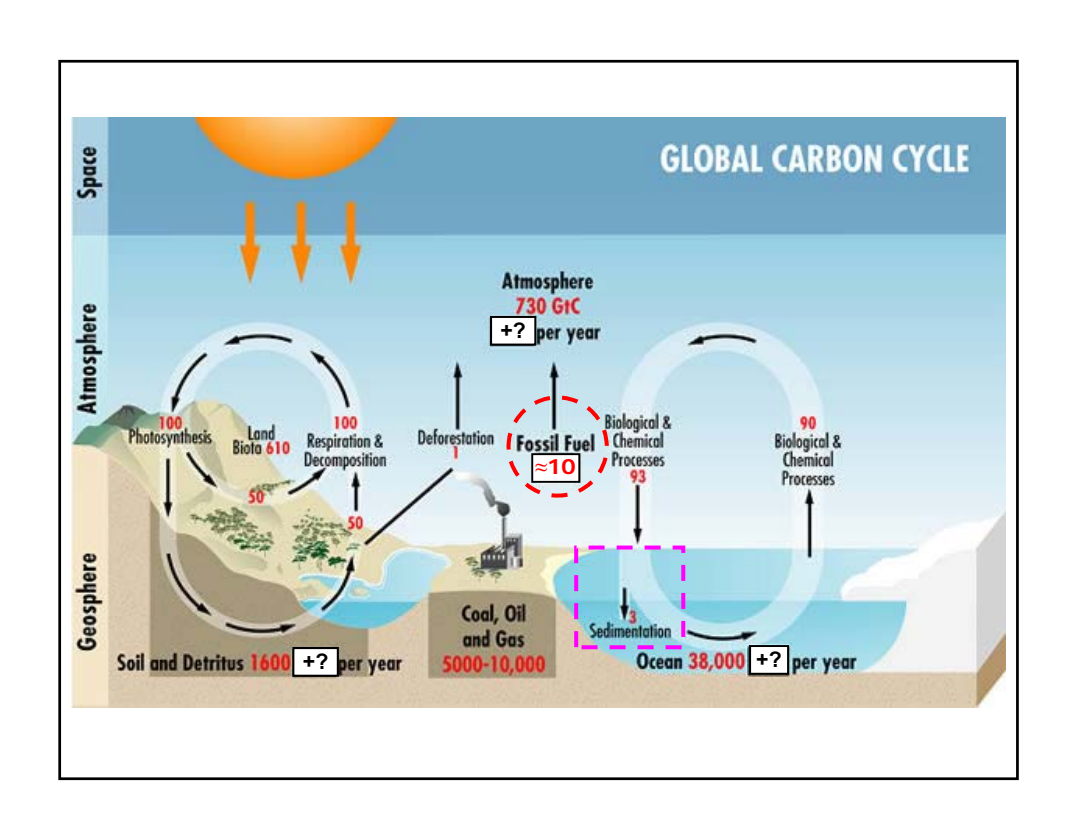


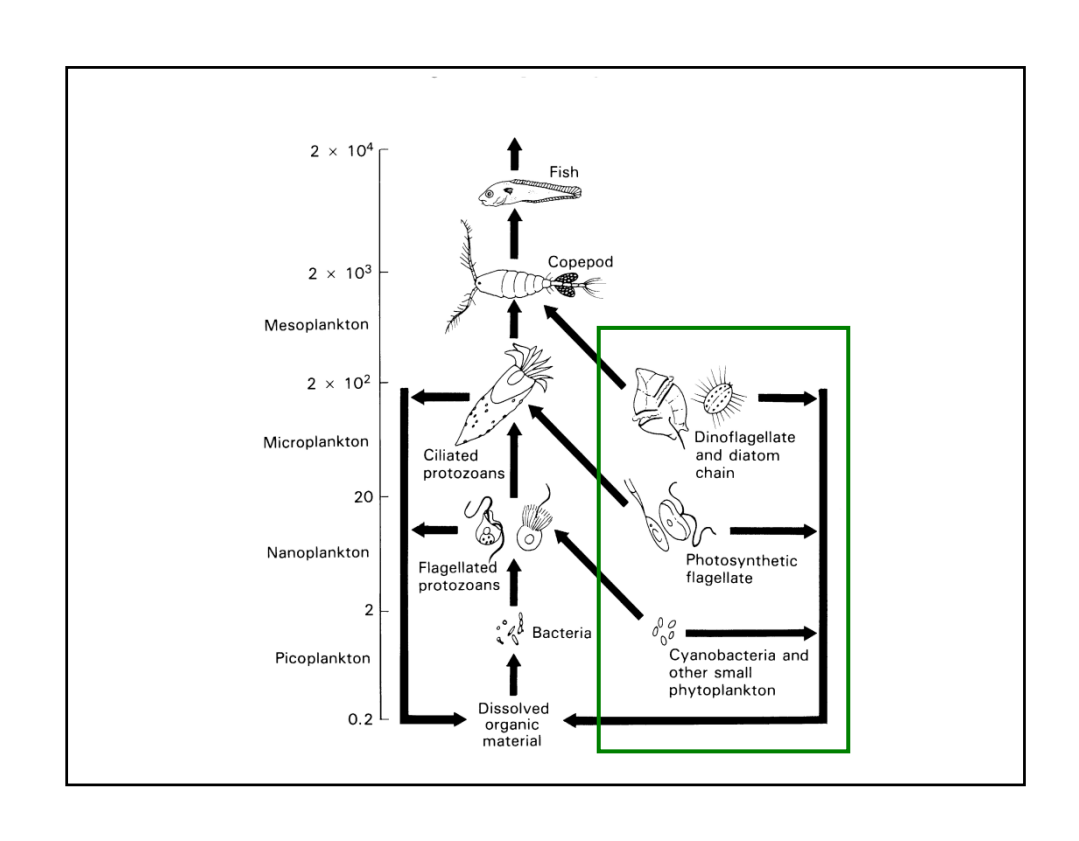
Tecnica	Componente della PP misurata	Scala temporale	
In vitro			
Assimilazione di C ^{14**}	$P_T (\equiv P_n)$	Ore, 1 giorno*	
Evoluzione di O ₂	P_{T}	Ore, 1 giorno*	
Assimilazione di ¹⁵ NO ₃	P _{new}	Ore, 1 giorno*	
Assimilazione di ¹⁵ NH ₄	P_r	Ore, 1 giorno*	
Evoluzione di ¹⁸ O ₂	P _{new} (≡ P _c)	Ore, 1 giorno*	
Proprietà di massa			
Flusso di NO ₃ nella zona fotica	P_{new}	Ore, giorni	
Accumulo netto di O ₂ nella zona fotica	P _{new}	Stagionale , annua	
Proprietà ottiche			
Fluorescenza modulata o indotta (doppio flash)	P_{T}	< 1sec.	
Fluorescenza passiva o naturale	P_{T}	< 1 sec.	
Telerilevamento	P_{T} , P_{new}	Giorni, anni	
Limiti superiore ed inferiore			
Tasso di sedimentazione al di sotto della zona fotica	P _{new} (≡ P _c): limite inferiore	Giorni, mesi	
Conversione ottimale dell'energia dei fotoni assorbili	P _T : limite superiore	Istantanea, annuale	
Deplezione dell'accumulo invernale di NO ₃	P _{new} : limite inferiore	Stagionale	



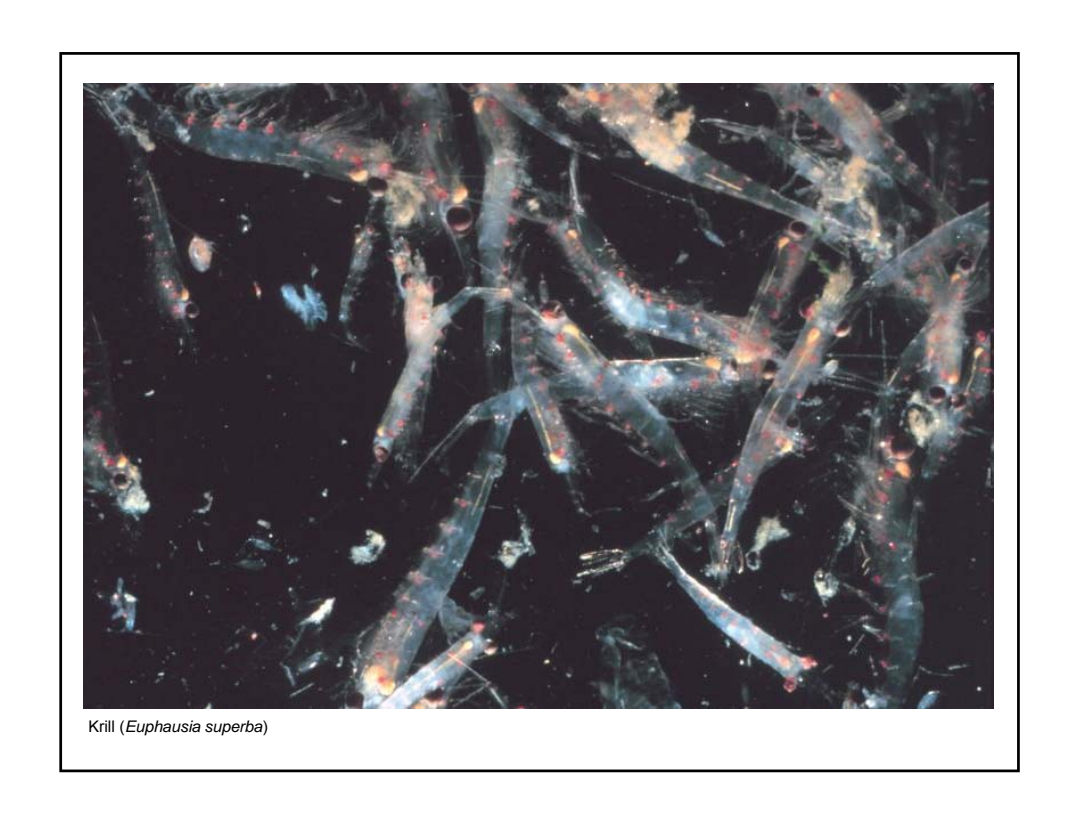


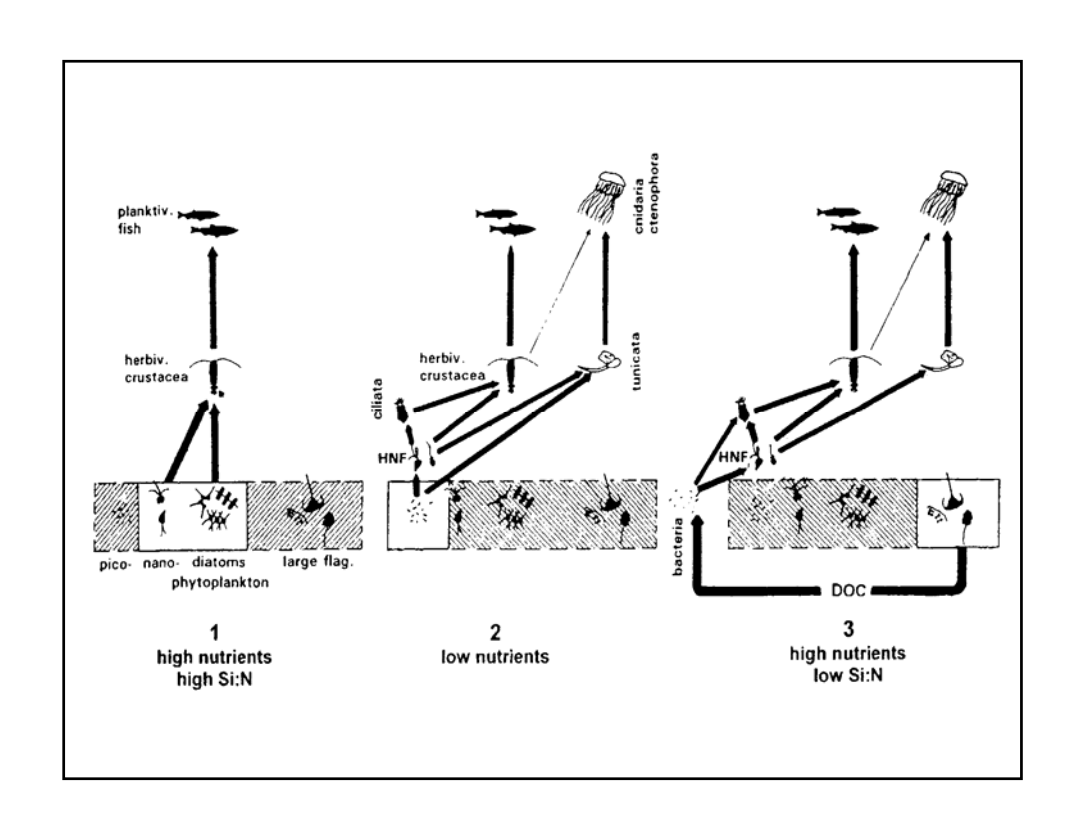


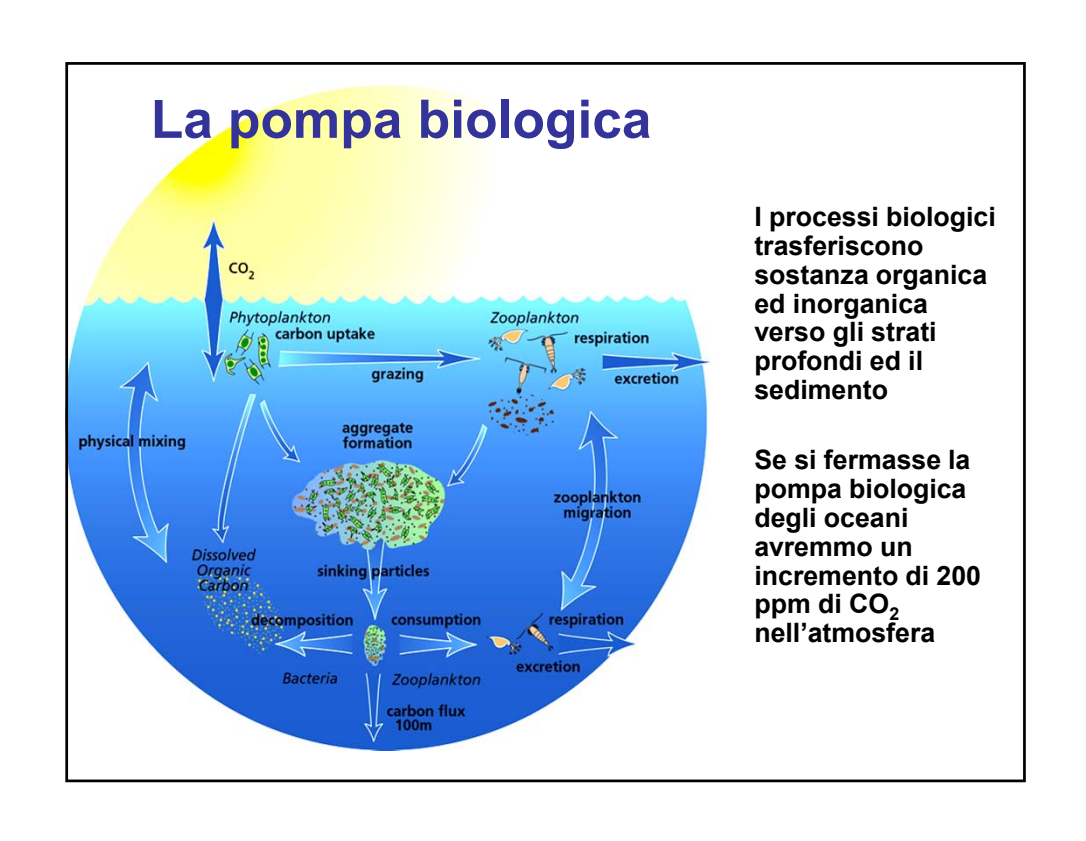


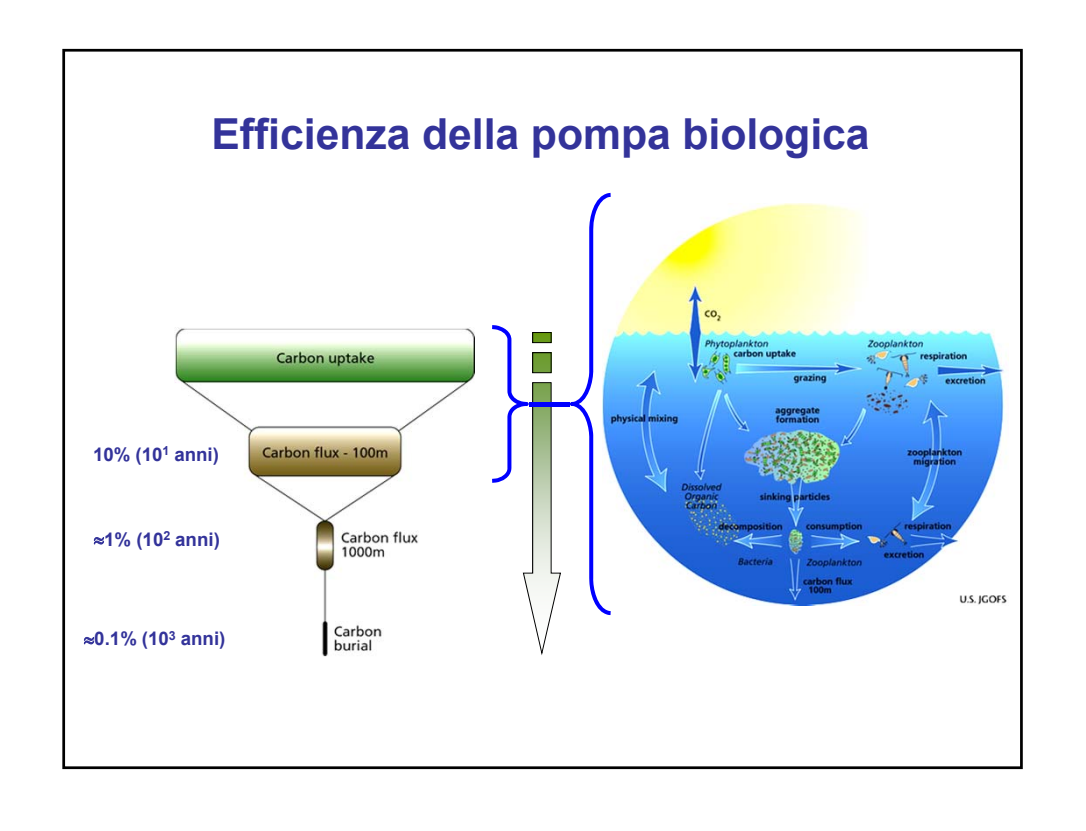


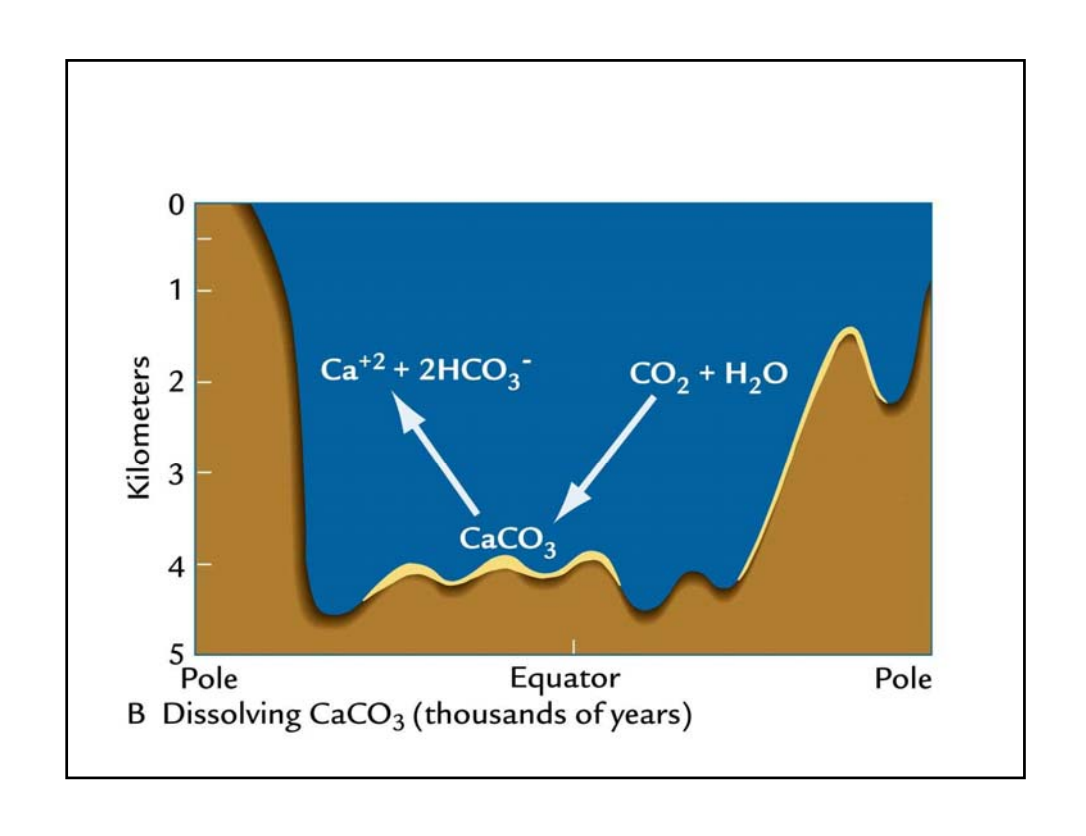


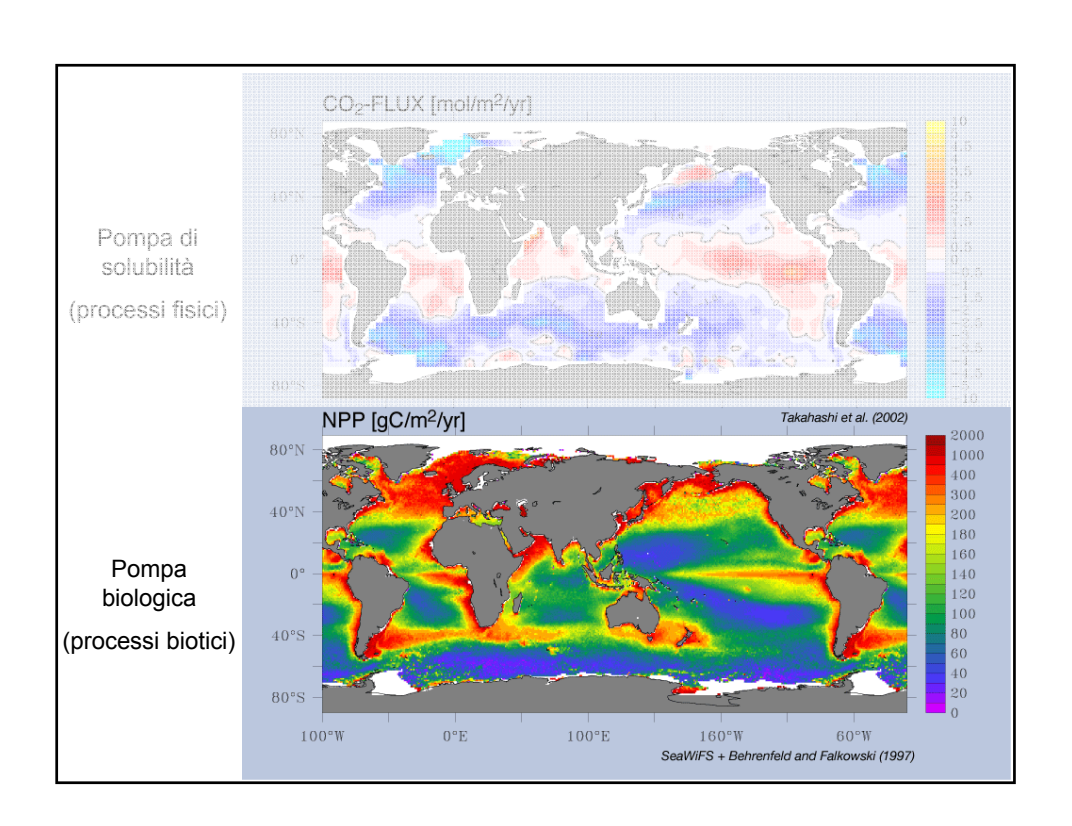












Perché è importante studiare l'Oceano Meridionale?

(NB: per un ecologo interessato al ciclo del carbonio!)

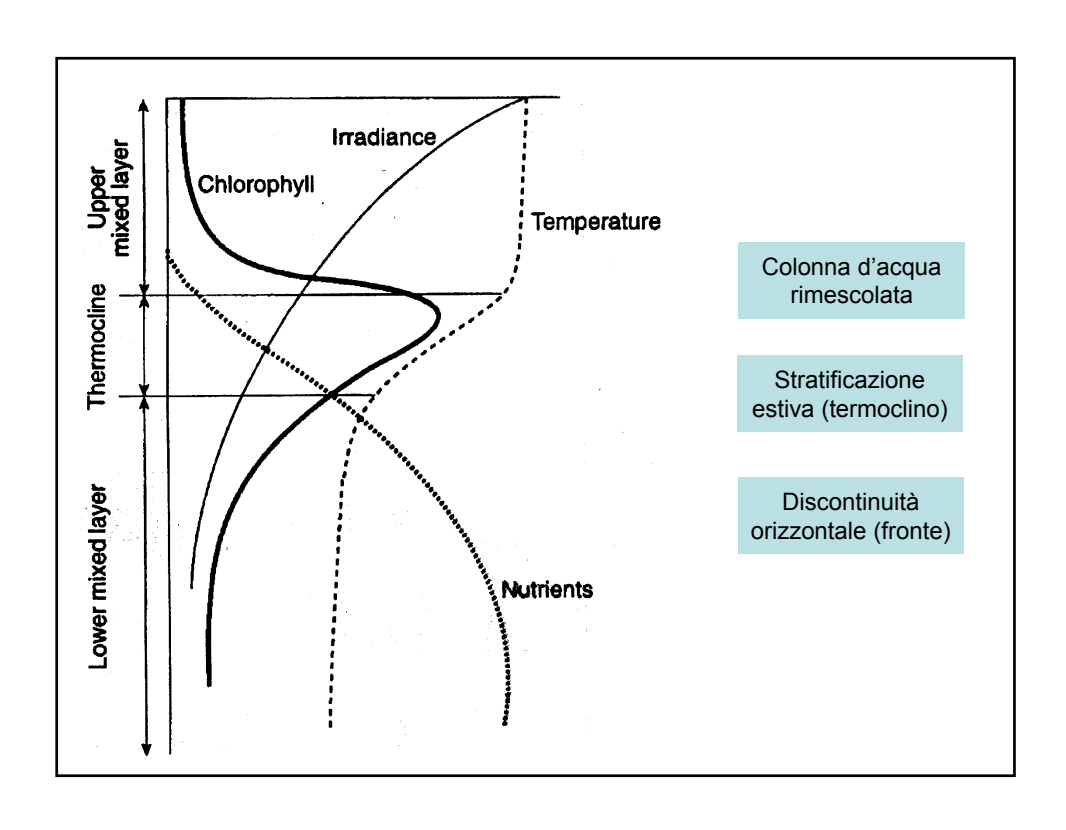
Produzione primaria fitoplanctonica per bacino

BASIN	AREA	MEAN (%)	MIN	MAX
	%	Gt C y^{-1}		
Pacific	42	20 (41)	14	30
Atlantic	21	12 (26)	8	18
Indian	14	9 (18)	5	14
Southern	22	6.5 (13)	3 🛑	→ 11
Arctic	1.1	0.26 (0.5)	0.04	0.6
Med.	0.8	0.51 (1)	0.28	0.74

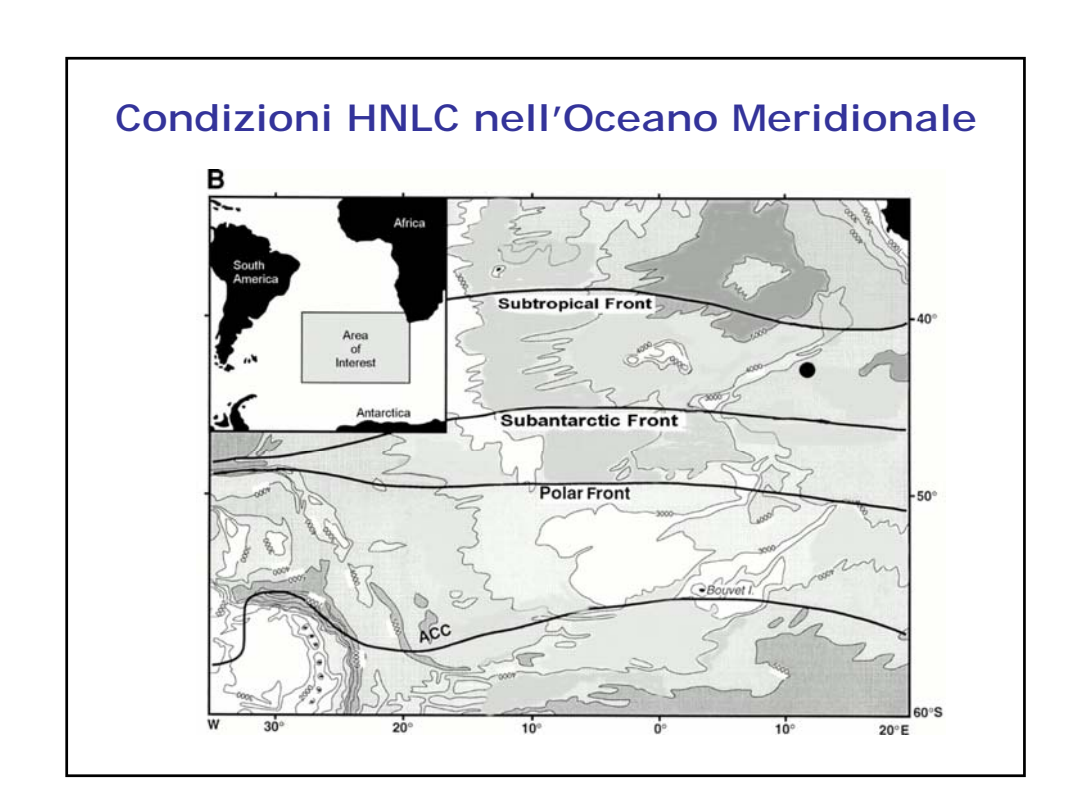
L'intervallo delle stime per l'Oceano Meridionale è:

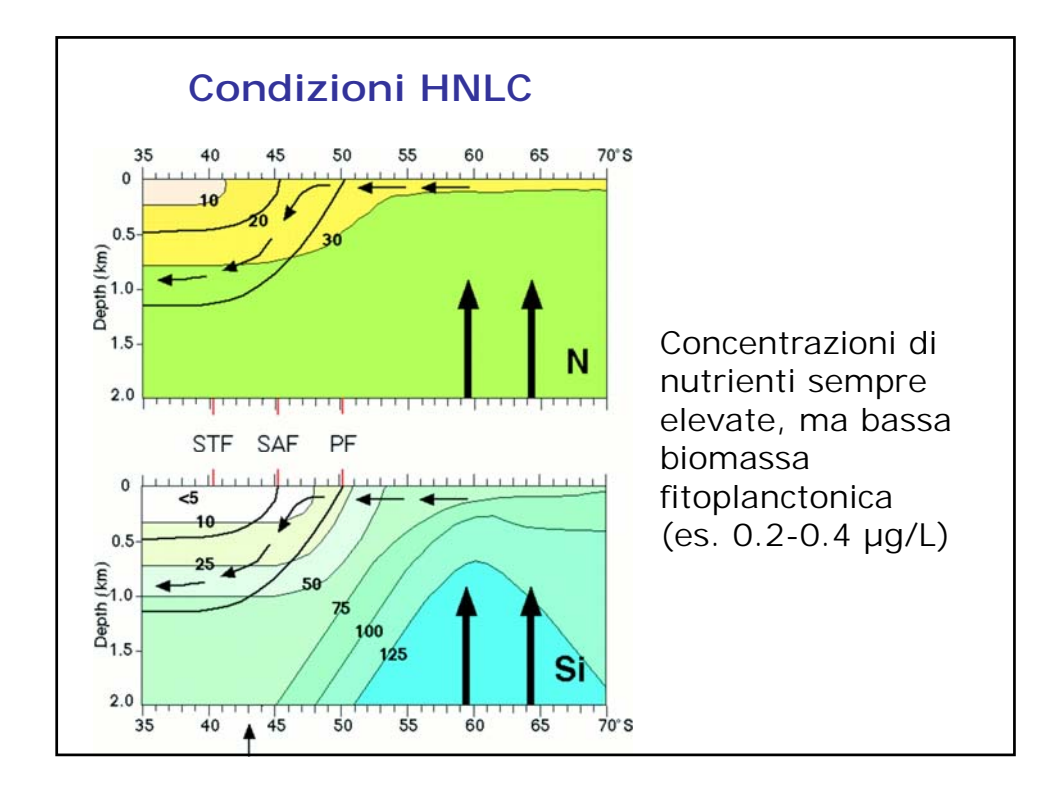
- il più ampio in termini percentuali (>100% della media delle stime)
- all'incirca uguale al totale delle immissioni di CO₂ di origine antropica

- Irradianza (e trasparenza)
- Temperatura (e dinamica dei ghiacci)
- Macro-nutrienti (N, P, Si)
 - Uso dei macro-nutrienti in condizoni HNLC (High Nutrient Low Chlorophyll)
 - Variazioni nel Redfield Ratio (il rapporto C:N:P nel fitoplancton e nelle acque profonde tende ad essere 116:16:1)
- Micro-nutrienti (a dopo)

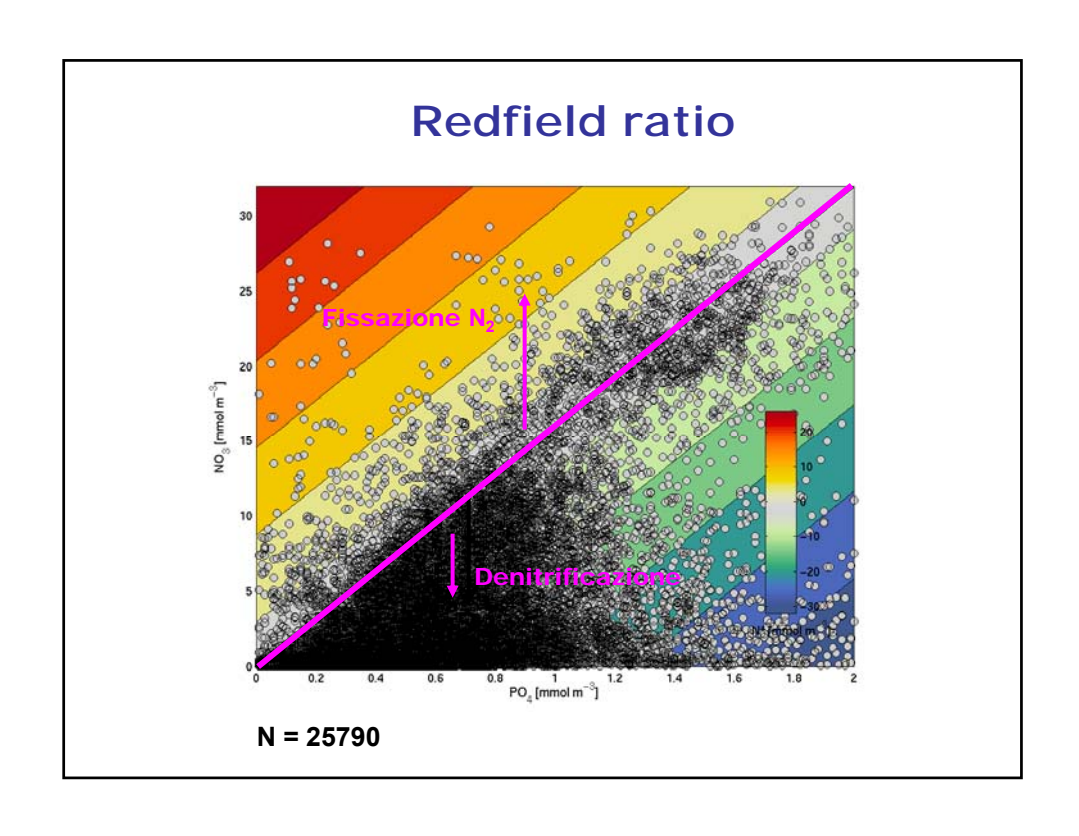


- Irradianza (e trasparenza)
- Temperatura (e dinamica dei ghiacci)
- Idrodinamismo e struttura della colonna d'acqua
- Macro-nutrienti (N, P, Si)
 - Uso dei macro-nutrienti in condizoni HNLC (High Nutrient Low Chlorophyll)
 - Variazioni nel Redfield Ratio (il rapporto C:N:P nel fitoplancton e nelle acque profonde tende ad essere 116:16:1)
- Micro-nutrienti (a dopo)





- Irradianza (e trasparenza)
- Temperatura (e dinamica dei ghiacci)
- Idrodinamismo e struttura della colonna d'acqua
- Macro-nutrienti (N, P, Si)
 - Uso dei macro-nutrienti in condizoni HNLC (High Nutrient Low Chlorophyll)
 - Variazioni nel Redfield Ratio (il rapporto C:N:P nel fitoplancton e nelle acque profonde tende ad essere 116:16:1)
- Micro-nutrienti (a dopo)

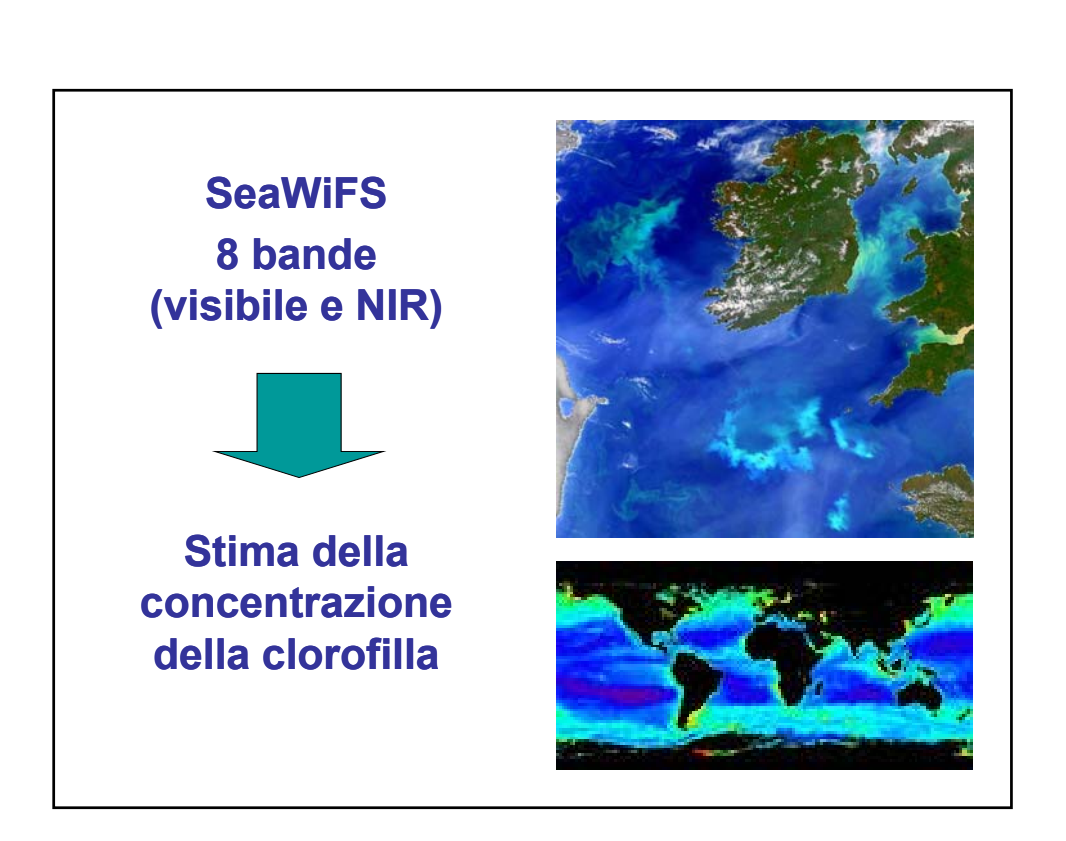


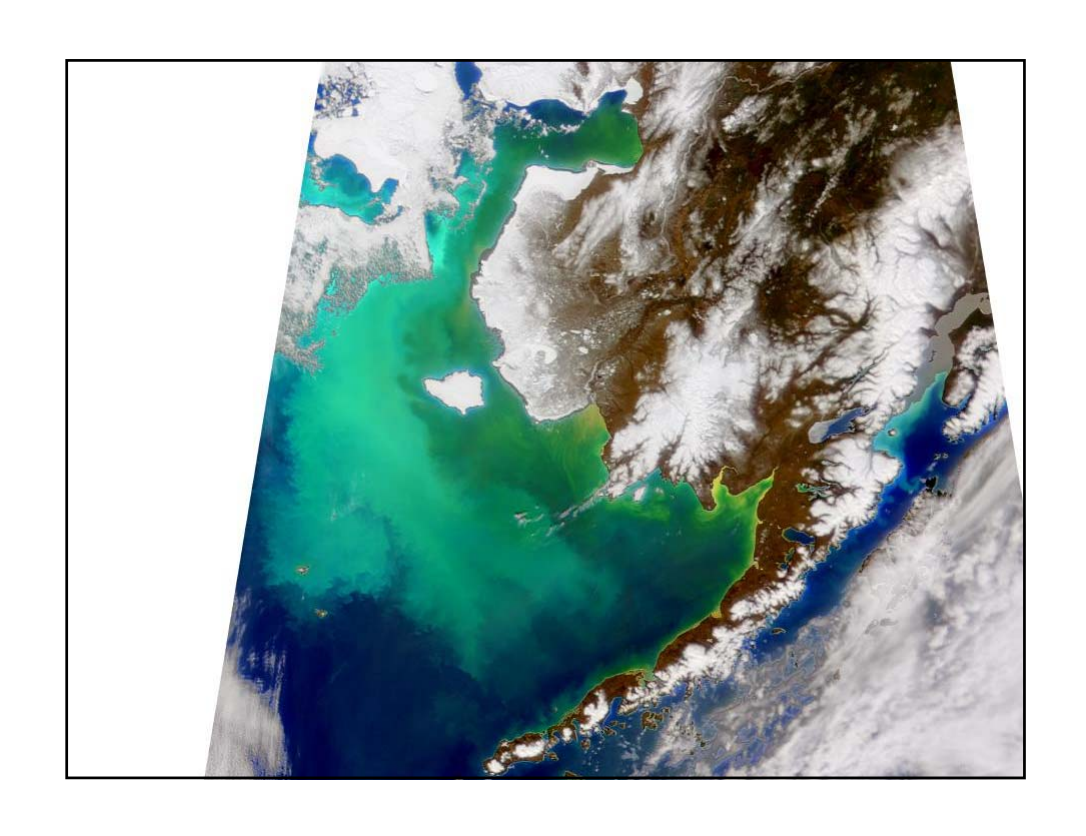
Come si studia la produzione primaria?

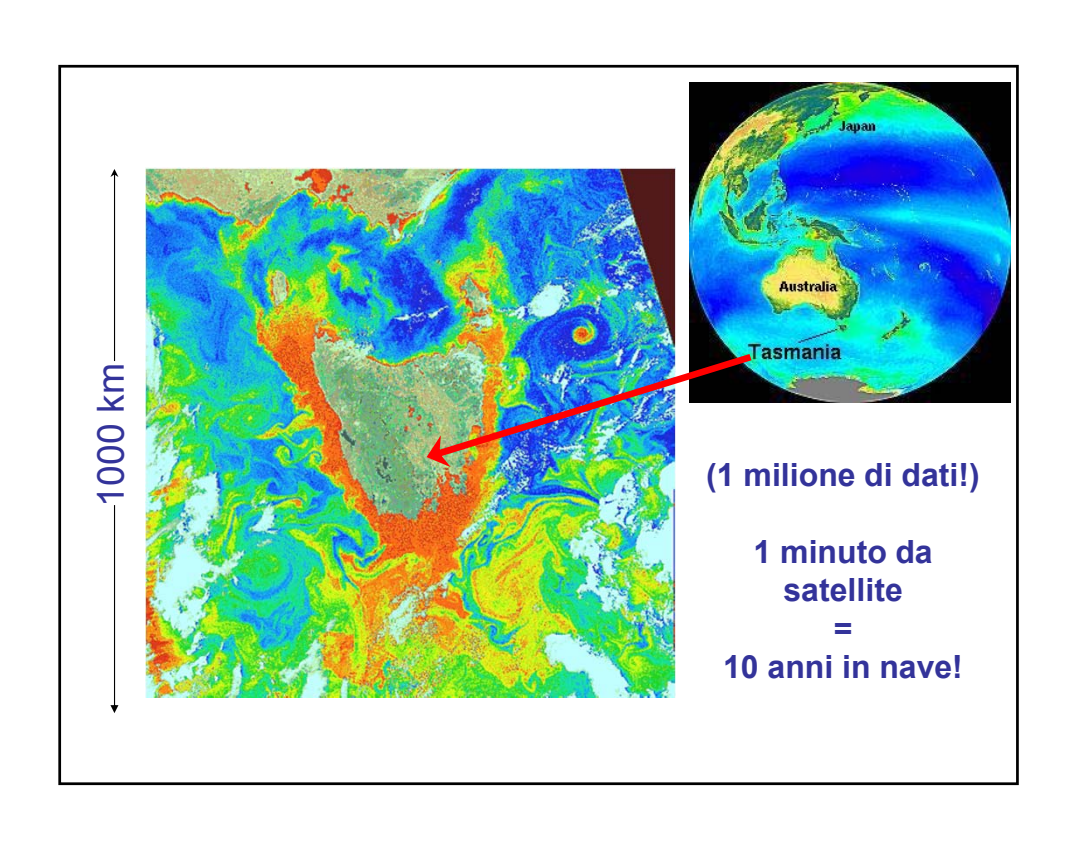
(nell'Oceano Meridionale, ma non solo)



Telerilevamento









Deep-Sea Research II 53 (2006) 741-770

PART II

www.elsevier.com/locate/dsr2

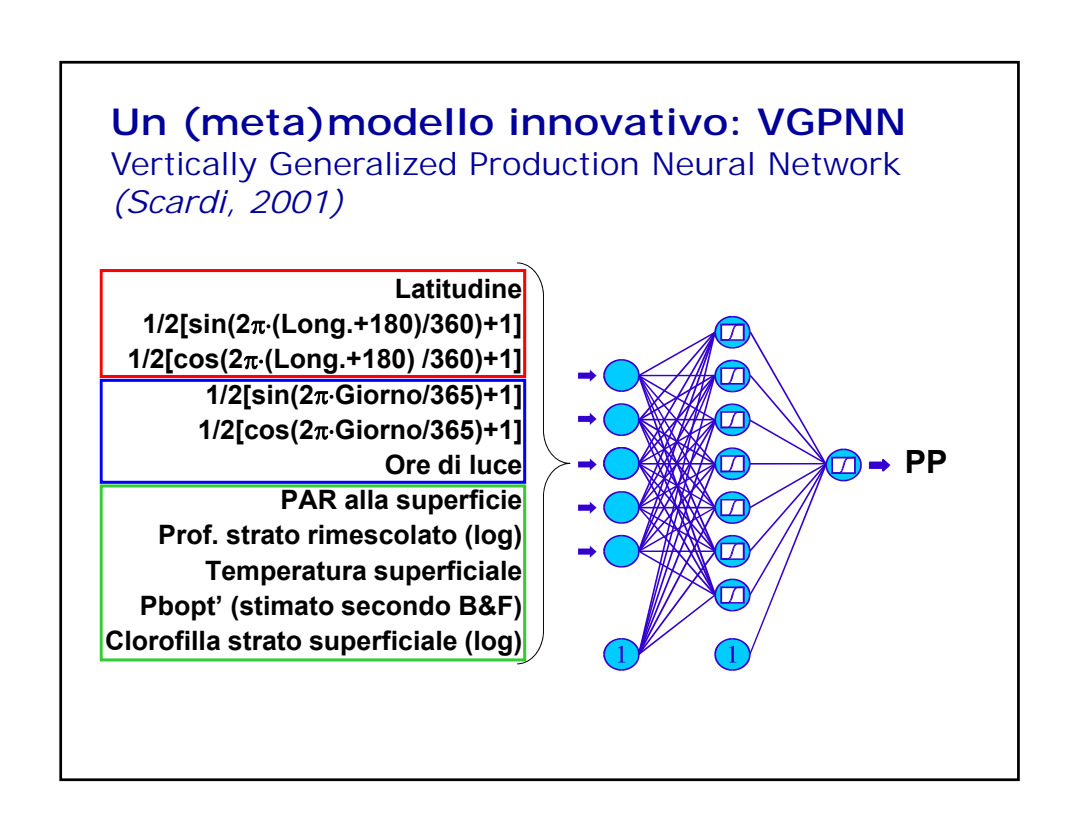
A comparison of global estimates of marine primary production from ocean color

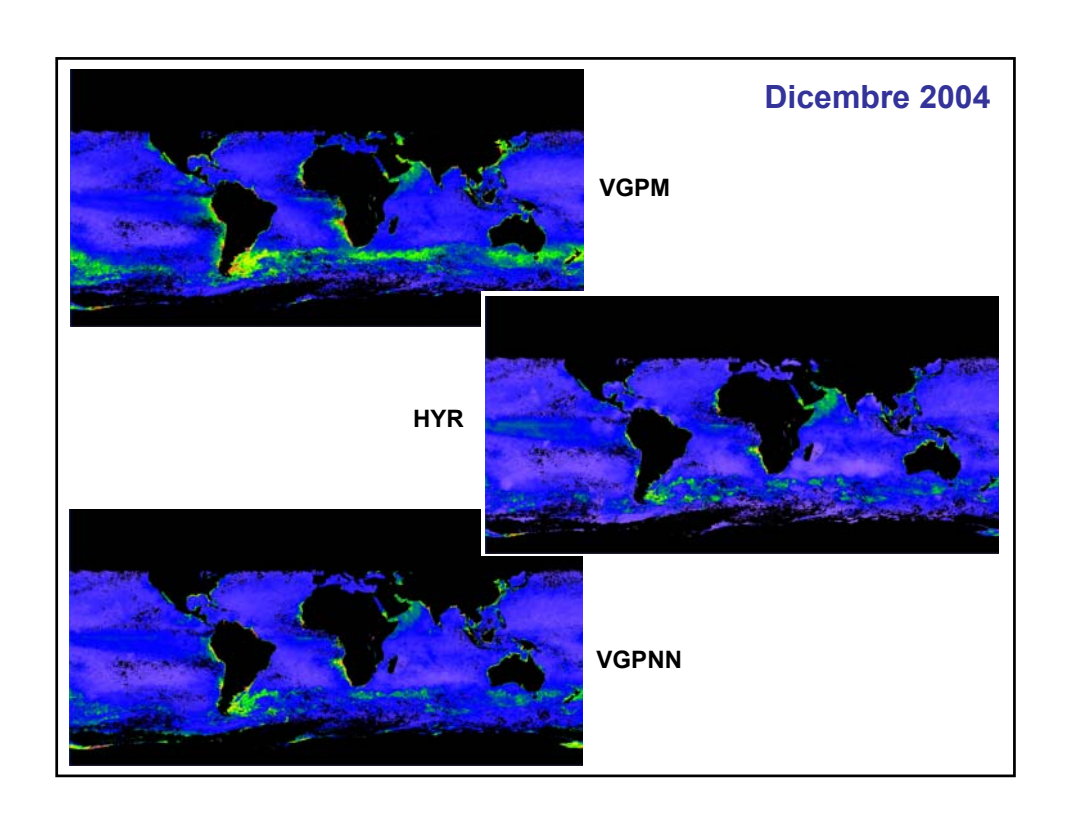
Mary-Elena Carr^{a,*}, Marjorie A.M. Friedrichs^{b,bb}, Marjorie Schmeltz^a, Maki Noguchi Aita^c, David Antoine^d, Kevin R. Arrigo^e, Ichio Asanuma^f, Olivier Aumont^g, Richard Barber^h, Michael Behrenfeldⁱ, Robert Bidigare^j, Erik T. Buitenhuis^k, Janet Campbell^l, Aurea Ciotti^m, Heidi Dierssenⁿ, Mark Dowell^o, John Dunne^p, Wayne Esaias^q, Bernard Gentili^d, Watson Gregg^q, Steve Groom^r, Nicolas Hoepffner^o, Joji Ishizaka^s, Takahiko Kameda^t, Corinne Le Quéré^{k,u}, Steven Lohrenz^v, John Marra^w, Frédéric Mélin^o, Keith Moore^x, André Morel^d, Tasha E. Reddy^e, John Ryan^y, Michele Scardi^z, Tim Smyth^r, Kevin Turpie^q, Gavin Tilstone^r, Kirk Waters^{aa}, Yasuhiro Yamanaka^c

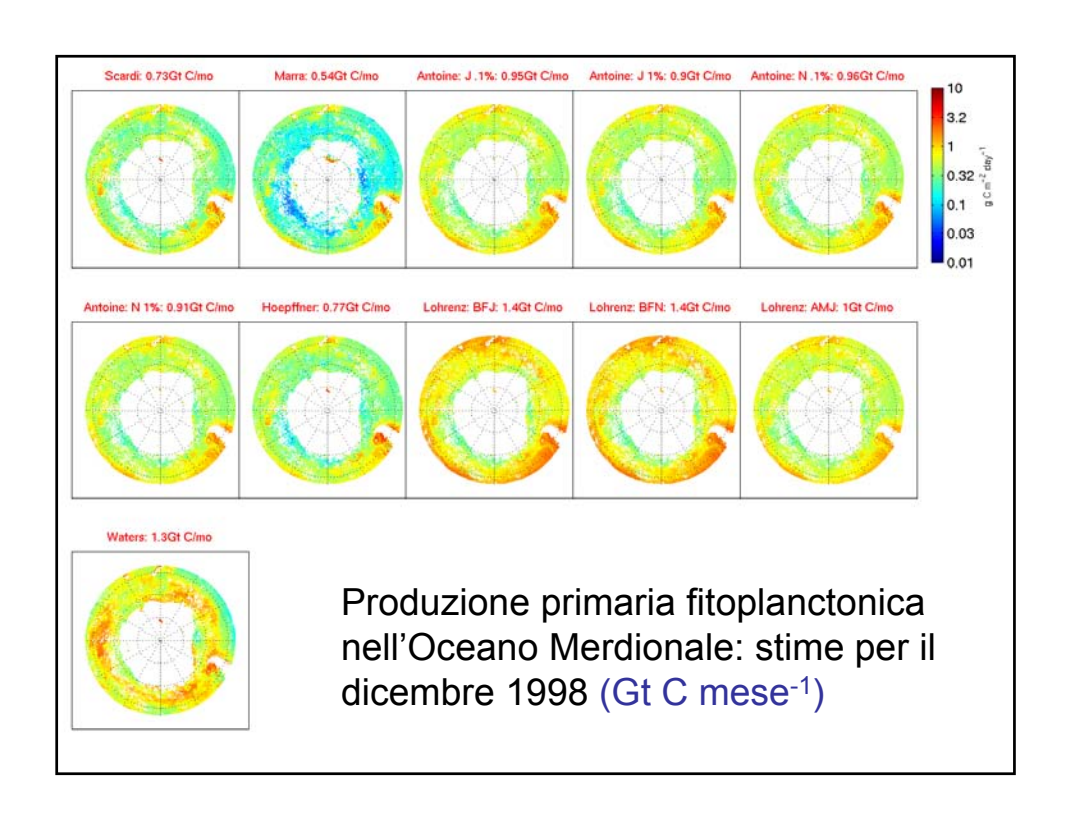
PPARR3 e PPARR4

$\begin{array}{c} \textbf{Vertically Generalized Production Model (VGPM)} \\ \textbf{(Behrenfeld \& Falkowski, 1997)} \\ \\ \textbf{\Sigma}_{PP:=0.66125 \cdot P}_{b=opt} \frac{I_0}{I_0 + 4.1} \cdot \text{Chl} \cdot Z_{eu} \cdot \text{Dl} \\ \\ \textbf{Where:} \\ \\ \textbf{Chl}_{tot}(\text{Chl}) := if \\ \textbf{Z}_{eu}(\text{Chl}) := if \\ \textbf{ST} \\ \\ \textbf{PP=f(I_0,B_0,Z_p,fotoperiodo,P_B^{opt})} \\ \textbf{Z}_p = f(B_0) \\ \\ \textbf{Z}_p = f(SST) \\ \\ \textbf{VGPM can be} \\ \\ \textbf{\Sigma}_{PP}(\text{Chl},I_0,SST,Dl}) := 0.66125 \cdot P_{b=opt}(SST) \cdot \frac{I_0}{I_0 + 4.1} \cdot \text{Chl} \cdot Z_{eu}(\text{Chl}) \cdot \text{Dl}} \\ \textbf{E.g.: } \quad \textbf{\Sigma}_{PP}(.601,0.1,13.83,13.21) = 29.095 \\ \\ \end{array}$

```
Modello HYR
                                                                    P_{\text{max}} = P_0 e^{rT}
(Howard, Yoder,
                                                                                         [ mg C (mg chl)<sup>-1</sup> d<sup>-1</sup>]
                                                             Where T is SST in {}^{0}C, P_{0} is P_{max} at 0 {}^{0}C (= 24), and r = .09 {}^{0}C^{-1}.
Ryan)
                                                        2. PAR attenuation coefficient (Nelson and Smith 1991):
                                                             K_{PAR} = 0.04 + (0.0088 * chl) + (0.054 * chl)^{(2/3)}
                                                        3. Mean irradiance of the mixed layer (Riley 1957):
                                                                E_{MLD} = \frac{E_0(1 - e^{[-K_{PAR}*MLD]})}{K_{PAR}*MLD}
PP=f(E0,T,ChI,MLD)
                                                        4. Mean primary production for the mixed layer (Platt and Jassby1976; mean \alpha taken from Platt et al. 1991)
                                                                                                                [mg C m<sup>-3</sup>d<sup>-1</sup>]
                                                                \alpha = 2.64 \text{ mg C (mg chl)}^{-1} d^{-1} (\text{wm}^2)^{-1}
                                                        5. Primary production per unit area:
                                                                       PP = Ps<sub>z</sub> * MLD [mg C m<sup>-2</sup> d<sup>-1</sup>]
```



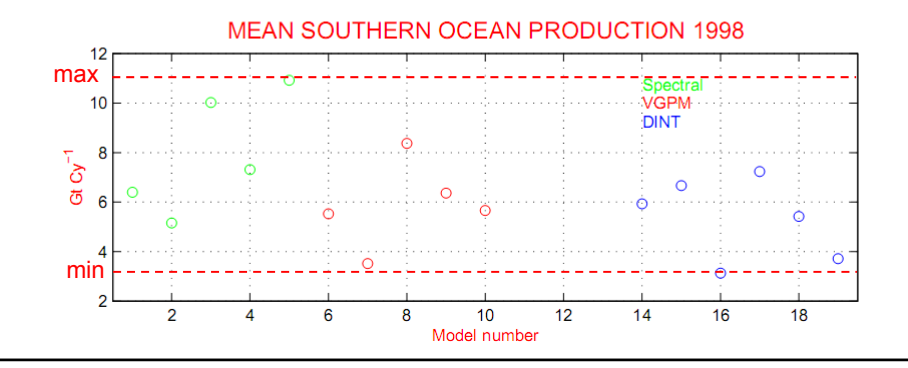




REGIONAL PRODUCTION

Mean production (<40°S) for 1998 is 6.1 Gt C y⁻¹. Standard deviation of the mean is 2.4 Gt C y⁻¹ (40%)

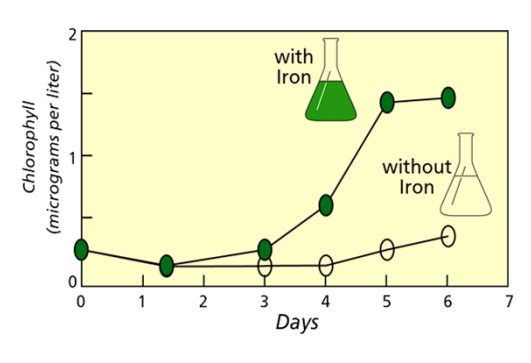
Range of model estimates is 8 Gt C y^{-1} , comparable to the seasonal range for most models.



- Irradianza (e trasparenza)
- Temperatura (e dinamica dei ghiacci)
- Idrodinamismo e struttura della colonna d'acqua
- Macro-nutrienti (N, P, Si)
 - Uso dei macro-nutrienti in condizoni HNLC (High Nutrient Low Chlorophyll)
 - Variazioni nel Redfield Ratio (il rapporto C:N:P nel fitoplancton e nelle acque profonde tende ad essere 116:16:1)
- Micro-nutrienti (es. Fe)

Cosa controlla la produzione primaria fitoplanctonica e quindi l'uptake di carbonio?

- Luce
- Temperatura
- Struttura della colonna d'acqua
- Macro-nutrienti (N, P, Si)
- Erbivori
- Micro-nutrienti (es. Fe, Zn)



Joseph Hart (GB), ~1930

Il ruolo giocato dal ferro dipende dalla composizione del popolamento fitoplanctonico

Alle alte latitudini:

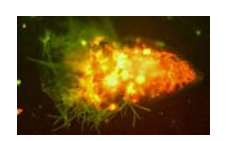
- giocano un ruolo importante i blooms primaverili
- l'efficienza fotosintetica è alta
- dominano le grandi diatomee
- Il ruolo degli erbivori nell'export di C è minore
- · alta richiesta di Fe





Regioni equatoriali ed oligotrofiche:

- bassa efficienza fotosintetica
- struttura delle reti trofiche più complessa (es. microbial loop)
- piccoli fitoflagellati ed erbivori molto efficienti
- · bassa richiesta di Fe



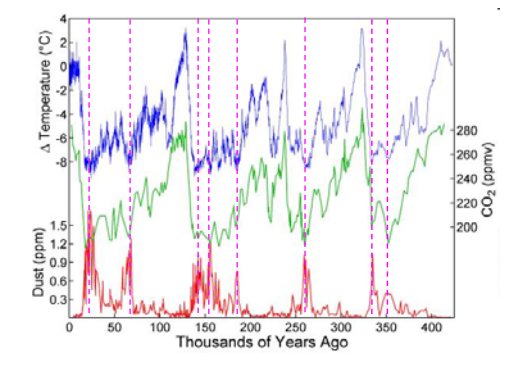
Il ferro come fattore di controllo

- Il 40% degli oceani è di tipo "HNLC"
- I dati paleoclimatici supportano l'ipotesi di una limitazione da ferro:

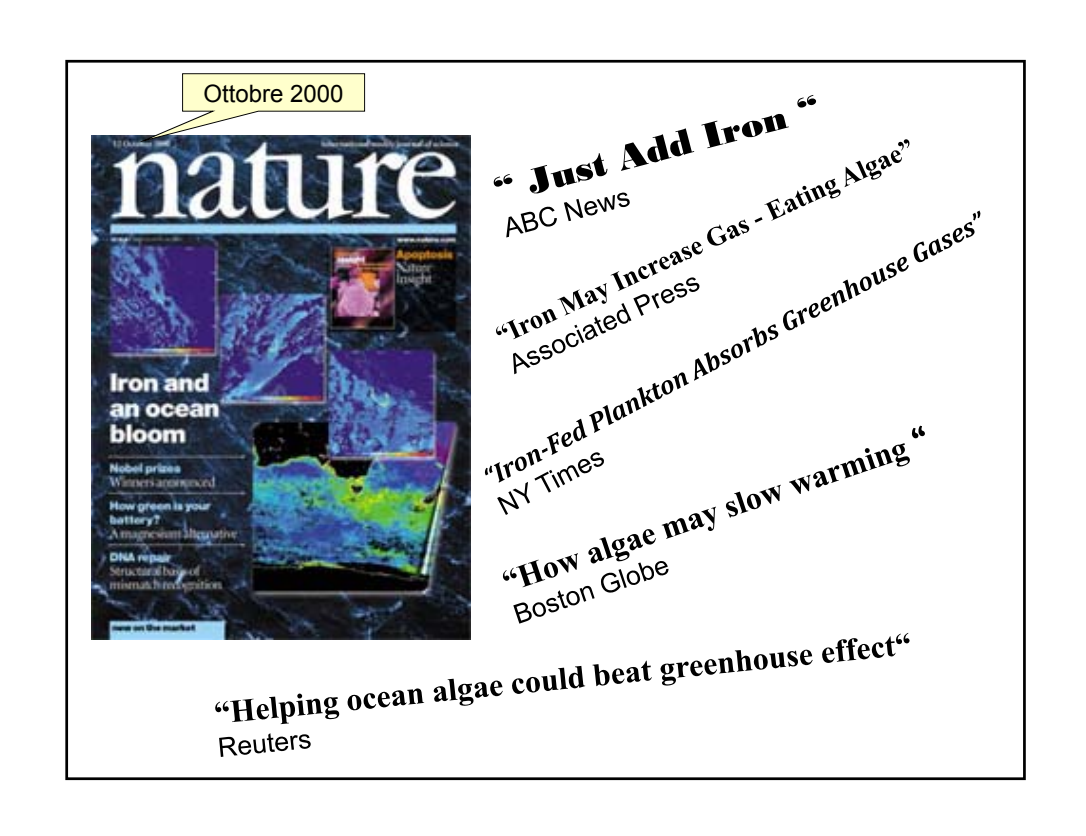
alte concentrazioni di polveri (e ferro)

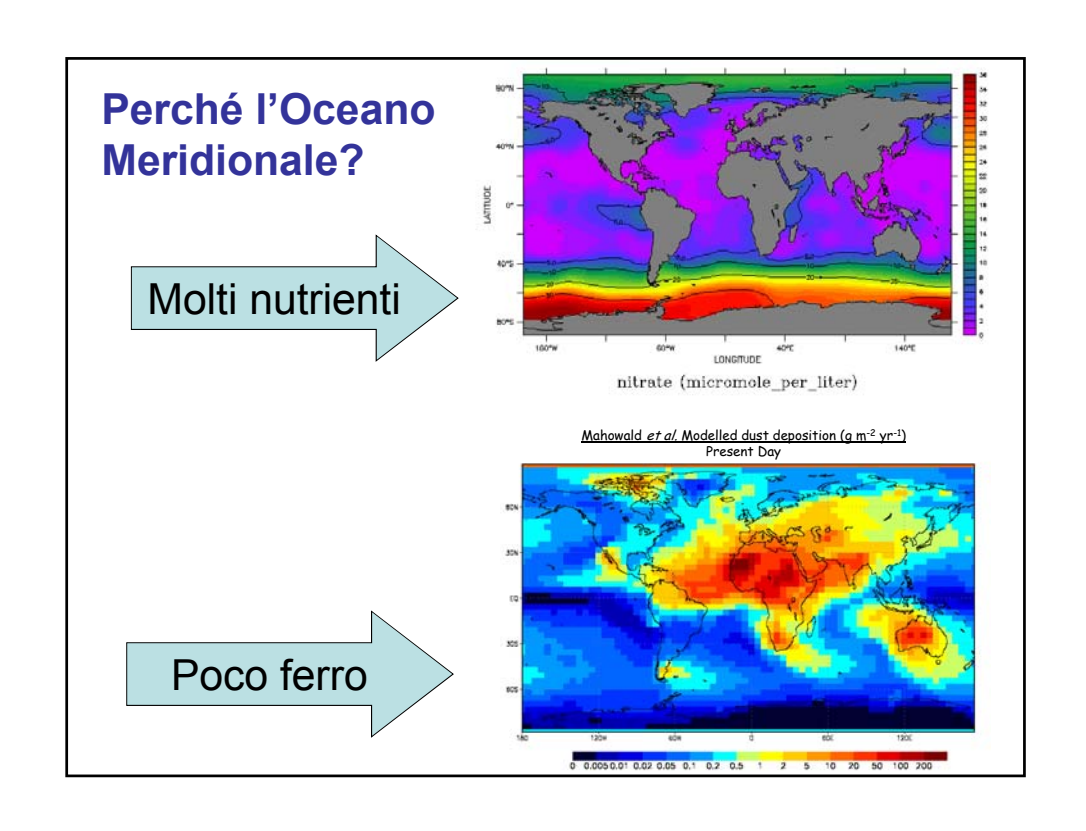


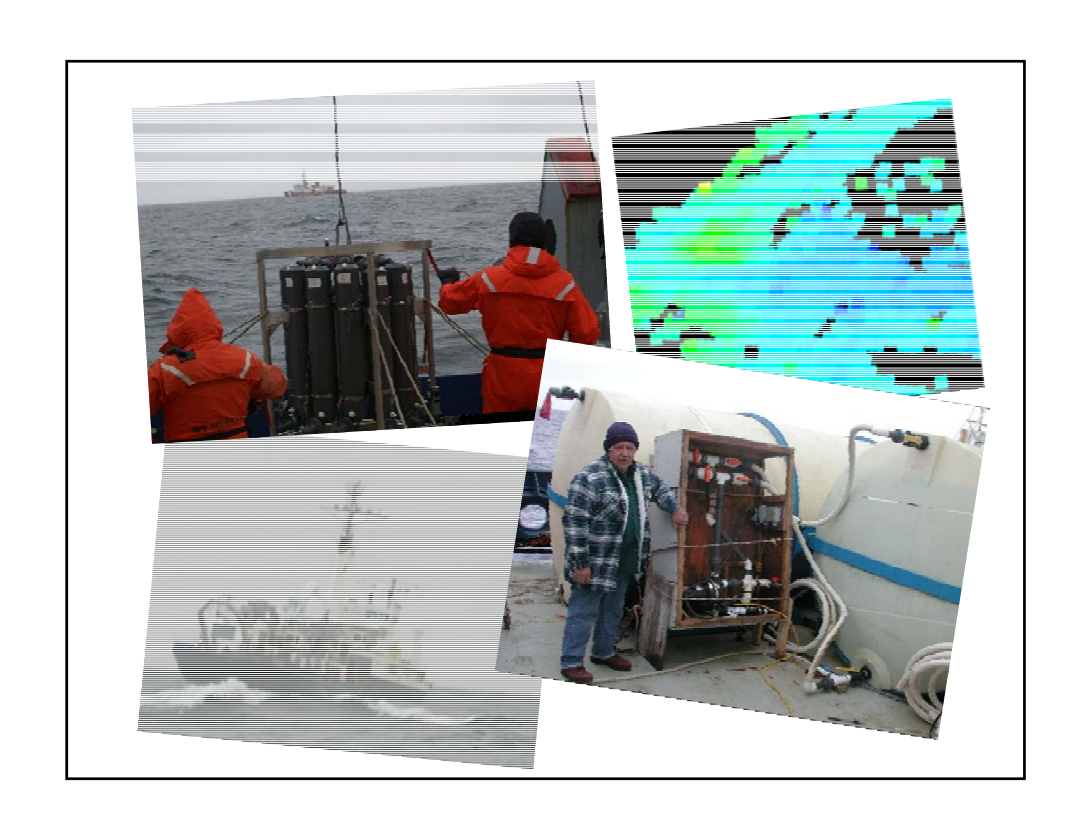
basse concentrazioni di CO₂ e basse temperature

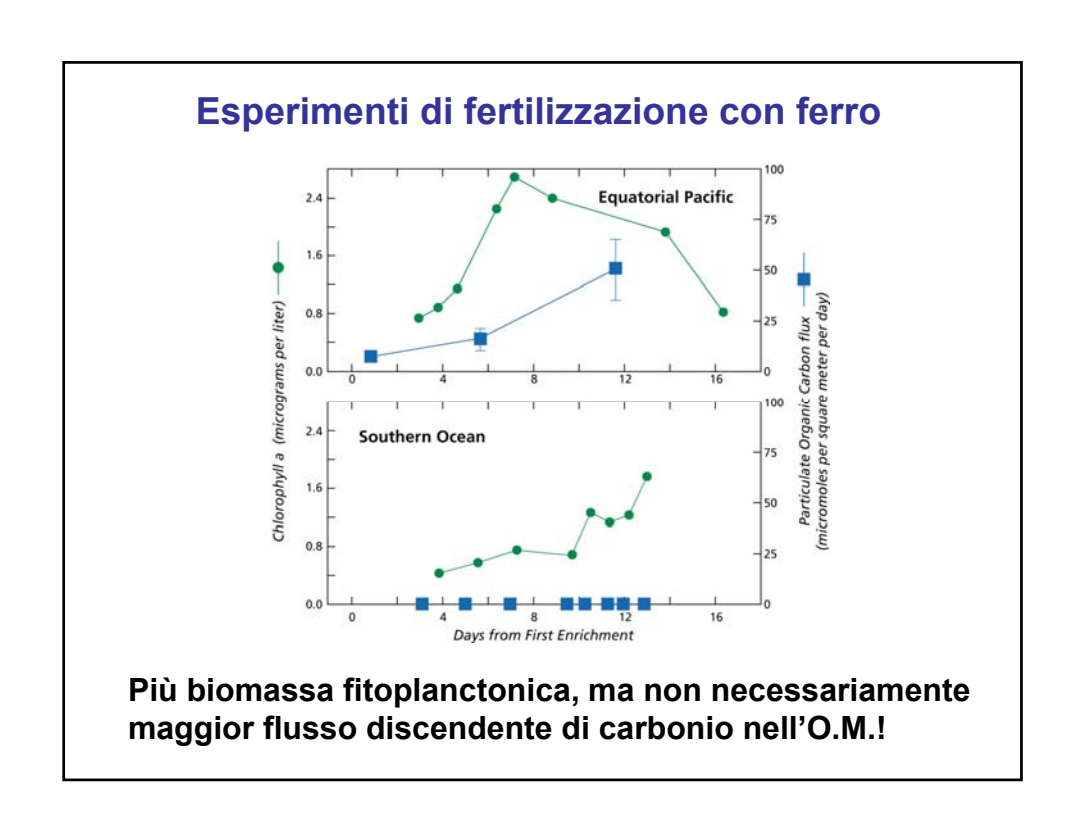


"Give me half a tanker of iron and I'll give you the next ice age" (John Martin, 1935-1993, in una presentazione alla WHOI, 1991)





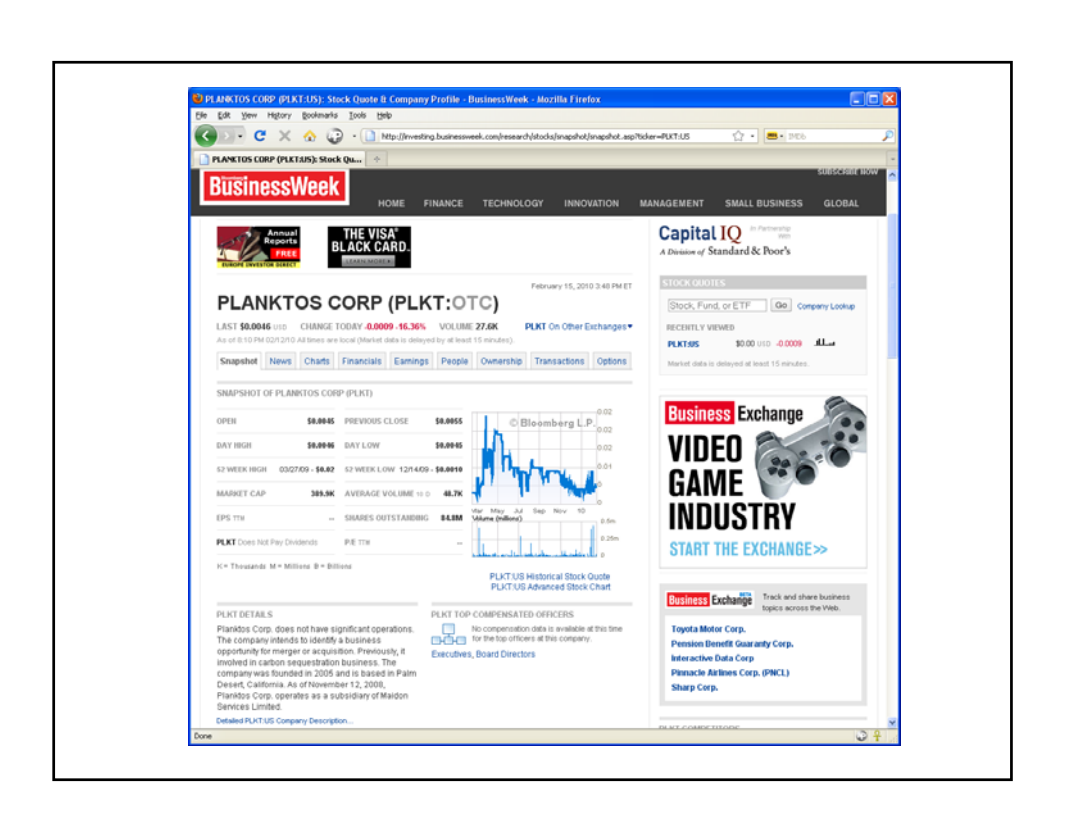






La fertilizzazione con Fe (e altro) è fattibile su grande scala?

- Per bilanciare il 50% delle emissioni industriali (3Gt C) servono da 200.000 a 4.000.000 t Fe anno-1
- Nel caso peggiore il costo è di 20 miliardi di euro
- La non conformità al protocollo di Kyoto costa in Europa 100 euro per t CO₂
- Proiettato su scala globale questo mercato varrà 1000 miliardi di euro nel 2012
- Quindi...





Pro

- Dal punto di vista strettamente economico, la fertilizzazione è molto conveniente
- Non intervenire porta comunque a cambiamenti climatici ed ecologici globali
- Rese di pesca potenzialmente migliori

•

Contro

- Non è affatto certo che la fertilizzazione sia scalabile
- Le conseguenze ecologiche sono imprevedibili
- E' una soluzione che potrebbe reggere solo fino all'esaurimento dei nutrienti nelle zone HNLC

